

Vysoká škola strojní a textilní v Liberci

nositelka Řádu práce

Fakulta strojní

Obor 23 - 07 - 8

strojírenská technologie

zaměření

strojírenská metalurgie

Katedra materiálů a strojírenské metalurgie

KINETIKA VÝVINU PLYNU Z JÁDROVÝCH SMĚSÍ

PŘI ODLÉVÁNÍ ŠEDÉ LITINY

KMM - 209

Jiří Špicar

Vedoucí diplomové práce: RNDr. Jana Kulhánková

/VŠST Liberec/

Konzultant : s. Vladimír Baar /AZNP Ml. Boleslav/

Rozsah práce a příloh

Počet stran: 90

Počet tabulek: 34

Počet obrázků: 10

Počet příloh: 6

Počet výkresů: —

23. května 1986

strojní a textilní
Vysoká škola: v Liberci Fakulta: strojní
Katedra: materiálu a strojírenské Školní rok: 1985/86
metalurgie

ZADÁNÍ DIPLOMOVÉ PRÁCE

(PROJEKTU, UMĚLECKÉHO DÍLA, UMĚLECKÉHO VÝKONU)

pro Jiří ŠPÍCAR
obor strojírenská technologie

Vedoucí katedry Vám ve smyslu nařízení vlády ČSSR č. 90/1980 Sb., o státních závěrečných zkouškách a státních rigorózních zkouškách, určuje tuto diplomovou práci:

Název tématu: Kinetika vývinu plynů a jádrových směsí při odlévání
šedé litiny

Zásady pro vypracování:

1. Seznámení s výrobou odlitků ze šedé litiny v AZNP Mladá Boleslav, zejména se zaměřením na výrobu jader, druhy a složení jádrových směsí.
2. Seznámení s metodami měření množství a rychlosti vývinu plynů z jádrových směsí při ohřevu.
3. Rozbor možností a návrh přístrojového vybavení pro stanovení kinetiky vývinu plynů ze směsi, ověření, případně porovnání navržené metodiky.
4. Měření kinetiky vývinu plynů z vybraných jádrových směsí používaných ve slévárně AZNP.
5. Technicko-ekonomické zhodnocení dosažených výsledků, doporučení pro provozní praxi.

VYSOKÁ ŠKOLA STROJNÍ A TEXTILNÍ
Ústřední knihovna
LIBEREC 1, STUDENTSKÁ 6
PSČ 461 17

1217/86 S

Rozsah grafických prací: tabulky, grafy, schemata

Rozsah průvodní zprávy: asi 50 stran textu

Seznam odborné literatury:

- /1/ PÍŠEK, F., PLESINGER, A.: Slévárenství I. SNTL Praha, 1974.
- /2/ MEDVEDEV, J.I.: Gazy v litějnoj formě. Mašinostrojenije, Moskva 1965.
- /3/ PAVLU : Diplomová práce 1983, VŠST Liberec.
- /4/ Podklady ze závodu AZNP Mladá Boleslav

Vedoucí diplomové práce: RNDr. Jana Kulhánková

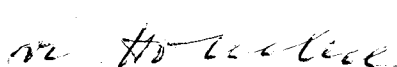
Konzultant : s. Baar Vladimír - AZNP Ml. Boleslav

Datum zadání diplomové práce: 9.9.1985

Termín odevzdání diplomové práce: 23.5.1986


Doc. Ing. Ján Alaxin, CSc

Vedoucí katedry


Mr. Horaček
Doc. Ing. Ján Alaxin, CSc

Děkan

Liberci 3.9. 85
v dne 19.....

"Místopřísežně prohlašuji, že jsem diplomovou práci
vypracoval samostatně s použitím uvedené literatury".

V Liberci 23. května 1986

František Šimáček

O B S A H

	strana
1. ÚVOD	1
2. Výroba šedé litiny a slévárna šedé litiny v AZNP Mladá Boleslav	2
2.1. Šedá litina	2
2.2. Příčiny a rozbor jednotlivých vad odlitků	3
2.3. Odstraňování plynů z lázně šedé litiny	3
2.4. Slévárna v Mladé Boleslavi	4
3. Vzájemné působení taveniny a formy	7
3.1. Struktura formy	7
3.2. Penetrace taveniny do formy	7
3.3. Difuze v povrchových vrstvách	9
4. Plyn v kovech	11
4.1. Pohlcování plynů v kovech	11
4.2. Odvádění plynů z jader	11
4.3. Vlivy působící na intenzitu vývinu plynů	12
4.4. Plynnotvornost jádrových směsi	13
4.4.1. Vypařování vody	15
4.4.2. Spalování organických láték	15
4.4.3. Termický rozpad organických láték	16
4.4.4. Disociace plynů	16
4.4.5. Vyložení vody z minerálů	16
4.4.6. Rozpinání vzduchu obsaženého v pôrech a dutině formy	17
5. Zkoušky a druhy jádrových a formovacích směsi	18
5.1. Technologické zkoušky směsi	18
5.2. Používané druhy pojiv	20
5.2.1. Vodní sklo	20
5.2.2. Pojiva odvozená od umělých pryskyřic	21

	strana
5.2.3. Pryskařice pro směsi na sušení	22
5.2.4. Pryskařice pro skořepinové formování	24
5.2.5. Pojiva pro samovolně tvrdnoucí směsi	24
5.2.6. Pojiva pro horké jaderníky	25
5.2.7. Pojiva pro studené jaderníky	26
6. Jádrové směsi používané pro výrobu zkušebních vzor-	
ků podle AZNP	30
6.1. Metoda CROWNING — suroviny	30
6.2. Metoda HOT — BOX — suroviny	31
6.3. Zahraniční směsi	40
7. Metody měření plynnotvornosti	42
7.1. Metody přímé — provozní	42
7.1.1. Metoda Spaského	42
7.1.2. Metoda Jašina	43
7.1.3. Metoda P.Berga	43
7.1.4. Metoda Piščeva	43
7.2. Metody nepřímé — laboratorní	43
7.2.1. Měření na přístroji Ströhlein	44
7.2.2. Měření na přístroji PGD fy Georg Fischer +GF+	44
7.2.3. Měření podle AZNP	45
8. Zařízení použité k měření plynnotvornosti	46
8.1. Polykondenzace fenolformaldehydové pryskařice	46
8.2. Princip, činnost aparatury a její obsluha	46
8.3. Příprava vzorků	48
8.4. Výhody a nevýhody použité metody	49
8.4.1. Nevýhody	49
8.4.2. Výhody	49
8.5. Postup vyhodnocení naměřených výsledků	51
8.6. Regresní analýza	51

	strana
9. Výsledky měření – tabulky	52
9.1. Diskuze k naměřeným výsledkům	88
10. ZÁVĚR	89

1. Úvod

Rozvoj strojírenského průmyslu v posledních letech nese mimo jiné, zvýšené nároky na nové materiály, na jejich vlastnosti a také snížení energetické náročnosti.

Tato fakta byla konstatována i v politické zprávě ÚV Komunistické strany Československa na XVII. sjezdu. ČSSR se účastní na realizaci programu vědeckotechnického pokroku členských zemí RVHP do roku dva tisice. Tento program je také mimo jiné zaměřen na výrobu nových materiálů a uplatnění nových technologií a techniky plně odpovídající československým podmíinkám.

Také na XXVII. sjezdu KSSS bylo konstatováno, že je nutný rozvoj odvětví náročných na vědecké poznatky.

Ve Zprávě o hlavních směrech hospodářského rozvoje a sociálního rozvoje v SSSR bylo uvedeno, že jedním z nejdůležitějších směrů vědeckotechnického pokroku je rozsáhlé zavádění progresivních technologií. Ve 12. pětiletce se má uplatnění progresivních technologií pro každé odvětví zvýšit o 50-100 %. Významné místo zaujmou zásadně nové technologie a rozsah jejich využití se násobně zvýší, což bude mít bezpochyby velký hospodářský efekt.

Také ve slévárenství by mělo dojít k zavádění nových materiálů a technologií do výroby. Při zavádění nových jádrových směsí pro odlévání je důležitým faktorem kinetika vývoje plynů, která má zásadní vliv na užitkové vlastnosti odlitků, resp. kvalitu povrchových a podpovrchových vrstev. Množství vyvíjených plynů z jádrové směsi při formování a odlévání, které se dostane do ovzduší, má vliv na hygienické podmínky pracujících, obsluhujících tyto stroje.

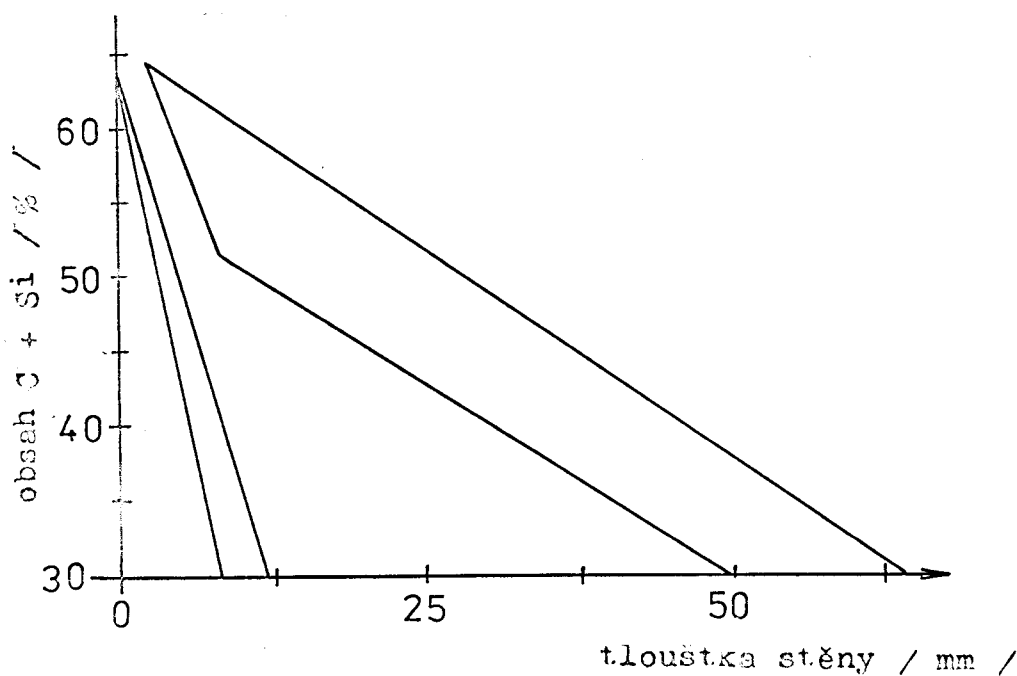
K řešení těchto problémů by měla přispět i tato práce, jejímž cílem je měření množství plynů v závislosti na čase.

2. Výroba šedé litiny a slévárna šedé litiny v AZNP
Mladá Boleslav

2.1. Š e d á l i t i n a

Šedá litina se vyrábí přetavováním surového železa a odpadového materiálů převážně v kuplovnách nebo elektrických pecích. Je to vicesložková slitina železa s uhlikem, křemíkem, manganem, fosforem, sírou a dalšími prvky. Obsah uhlíku je obvykle 2,8 až 4,0 %. Šedá litina krystalizuje přibližně podle stabilní / grafitové/soustavy rovnovážného diagramu Fe-C. Skutečný průběh krystalizace je však odlišný především vlivem většího obsahu křemíku.

Výsledná struktura šedé litiny závisí především na chemickém složení litiny a na rychlosti ochlazování. Nejdůležitější přisadou šedé litiny je křemík, který umožňuje grafitizaci litiny i při vyšší rychlosti ochlazování. Příliš velký obsah křemíku je však nežádoucí, neboť vede ke vzniku velmi hrubého grafitu a často i k úplné grafitizaci perlitu. Stejně nepříznivě působí na strukturu šedé litiny i příliš pomalé ochlazování odlitků. Společný vliv obsahu uhlíku, křemíku a rychlosti ochlazování znázorňují diagramy Klingensteinův nebo Uhlitzův-Weichtův.



2.2. Příčiny a rozbor jednotlivých vad odlitků

Bubliny.

Bubliny jsou charakteristické vady odlitků z oceli, šedé litiny i z neželezných slitin. Vytvářejí v odlitku otevřené / povrchové / nebo uzavřené /vnitřní/ dutiny, zpravidla s čistým a hladkým, někdy okysličeným povrchem. Jsou obvykle uspořádány v nejvyšších částech odlitků v důsledku uzavření plynů mezi kov a formu. Mohou se vytvořit jednotlivě nebo v hnízdech.

Bublinatost možno očekávat při nadměrném vývoji plynů z vnějšku, t.j. z formy, při nevhodné formovaci směsi vyvíjející velké množství plynů nebo při navlhlé formě nebo na vlnhlém jádru. Tlak plynů vzrůstá především při začátku odlévání formy a je vyvolán okamžitým vývojem páry z vody obsažené ve formovacím písku, jakož i vývinem plynů při reakcích / rozkladu / pojiv a přisad za vysoké povrchové teploty po styku taveniny s formou.

Bublinatost mohou však vyvolat i plyny obsažené / rozpuštěné / v tavenině. Plyny s menším poloměrem atomů se mohou vtěsnat do mřížky základního kovu / interstiticky /. Takto je zachycen např. vodík. Plyny s vyznačenou afinitou k některé složce slitiny vytvářejí s ní chemickou sloučeninu. Takto vznikají především kysličníky / FeO /, z nichž některé s nižším mocenstvím tvoří samostatnou fázi. Při každé teplotě mohou slitiny rozpouštět jen určité množství plynů. Tím vyšší je teplota slitiny, tím větší množství plynů může být obvykle v tavenině rozpouštěno. Proto nesprávný způsob tavení, špatná dezoxydace nebo odplynění kovů může vyvolat nepříznivé

poměry, které se projevují při ochlazování taveniny ve formě, kdy s poklesem teploty se vylučují plyny a asociuji v polekulární podobu, čímž nabývají plynného charakteru.

Také při styku taveniny s určitými tělesy ve formě, jako podpěrkami, chladítky a pod., zvláště pokud jsou oxysličená, může dojít k vývinu plynů v důsledku chemických reakcí, nejčastěji typu $\text{FeO} + \text{C} = \text{Fe} + \text{CO}$.

Pro zamezení bublinatosti je samozřejmě důležitá dokonalá prodyšnost formy nebo jadre, čistota průduchů a jejich správné dimenzování, jakož i správné umístění vtokové soustavy.

2.3. Odstraňování plynů z lázně šedé litiny.

V kovové lázni jsou vždy v určitém množství plyny přítomny. Jde především o kyslík, dusík a vodík, které jsou v tekutém kovu rozpuštěny buď ve formě elementární nebo ve sloučeninách. Obsah plynu v kovu se nejčastěji udává buď ve hmotnostních procentech nebo v mililitrech plynu na 100 g kovu / tento způsob je běžný u vodíku /.

Přítomnost dostatečného množství kyslíku při tavení je nutná k oxidaci doprovodných prvků v lázni. Způsob odstraňování kyslíku z lázně při dokončení tavby je v deoxidaci.

Dusík se dostává do poztaveného kovu jednak vsázkou, která obsahuje dusík, jednak z pecní atmosféry / zejména u elektrických pecí, kde lázeň v místě oblouku není dostatečně kryta struskou a při vysokých teplotách v místě oblouku nastává disociace vzdušného dusíku. / Rozpustnost dusíku

v kovu zavírá na teplotě a tlaku a je v tekutém kovu mnohem vyšší než v tuhém kovu. To má za následek, že při tuhnutí se přebytečný dusík vylučuje z roztoku a tvoří bubliny, které většinou uváznou v kovu, část dusíku zůstává ve formě tuhého interstitického roztoku a část ve formě nitridu. Dusík je považován za původce stárnutí a poklesu tažnosti, kontrakce a vrubové houževnatosti.

Vodík se dostává do litiny vsázkou ve formě rzi, která se při ohřevu rozkládá a uvolňující se vodík difunduje do litiny vlhkou rudou, vlhkými feroslitinami a dalšími přisadami z pecní atmosféry. Hlavním zdrojem vodíku bývá vlhké vápno. Vodík se rozpouští atomárně ve formě interstitického roztoku. Jeho rozpustnost je značná. S klesající teplotou rozpustnost klesá. Jestliže se během tavení nepodaří snížit obsah vodíku pod 0,007 %, objeví se ve ztuhlém kovu bubliny. Vodík je přičinou poklesu pevnosti v tahu, tažnosti, kontrakce a vrubové houževnatosti. Při tavení litiny je proto nutno před vypouštěním z pece snížit obsah plynu v tavenině na minimum. Jediná cesta, jak snížit obsah vodíku a dusíku v tavenině, neuvážujeme-li vakuování, je živý a dostatečně dlouhý tvar lázně, způsobený uhlíkovou reakcí. V bublinkách CO je parciální vodík a dusík nulový, proto tyto plyny difundují do bublin CO a jsou jimi unášeny do pecní atmosféry.

2.4. Slévárna v Mladé Boleslavi

Slévárna šedé litiny byla postavena podle projektu z národního podniku Kovoprojekta Brno. Její výstavba začala

v létě roku 1962. Jako první byla do zkušeného provozu uvedena tavírna a soupecí a to 30. 6. 1963. Další část, která byla dána do provozu 15. 7. 1963 byla temperována. Celkový zkušební provoz malého komplexu začal 14. 5. 1964 a vlastní náběh provozu 1. 1. 1966.

Slévárna vyrábí ročně 12 500 t šedé litiny a 6 000 t temperované litiny. Temperovaná litina se vyrábí jako bílá s 2,6 % C a z ní se temperováním vyrábí perlitická litina.

Slévárna se skládá z pěti základních lodí o rozměrech 18 x 90 m a šesté lodi na tyto kolmé, což je materiálová loď. Slévárna obsahuje rovněž sociální přistavky, kanceláře a v prvním patře jemetalografická laboratoř. V provozech pracuje asi 480 dělníků a 20 techniků.

Slévárna je rozdělena do jednotlivých technologických oddělení : - vstupní surovinová hala,
- přípravná písku,
- jaderna,
- tavírna,
- 2 formovací linky / ruční /
- kusové lití + linka pro skořepinové formy,
- cídirna a temperovna,
- pracoviště kontroly OTK,
- expedice.

Jednotlivá oddělení jsou vybavena následující stroji a zařízením :

tavírna - tavící peci Brown Bowery Švýcarsko
- dopravník Übel Francie

formovna - automatické a poloautomatické formovací zařízení Stonne Walworke Velká Británie

- jaderna - vstřelovací stroj AVS 16,6 ČSSR
- stroj na jádra Shalco U 180 Velká Británie
- stroj na jádra Loramendi 200 A Španělsko
- přípravná - 2 stroje Speedmullor Švédsko
píska - mísení píska pro formy
- 750 kg směsi na 1 mísení
- stroj pro obalovanou směs Fodarth 750 Velká Británie
- misič píska Sutter USA
- temperovna - temperovací pec AB Birlec Ludwig Velká Británie
- cídírna - tryskací stroj Vogel Schneemann NSR
- jednoúčelový brusný stroj Kunz Italie
- tvrdoměr Brinnell
- pásová doprava slévárny - gumové a ocelové pásy
Centrozap BPE PLR.

3. Vzájemné působení taveniny a formy

3.1. Struktura formy

Ke sledování fyzikálněchemických jevů na povrchu formy je nutné si objasnit strukturu formy. Volný prostor mezi zrny je charakterizován velikostí jednotlivých zrn a těsností jejich styku podle intenzity spěchování. V mezerách mezi zrny je kapilárními silami držena volná voda a ve volných prostorách je vzduch. K teoretickému průzkumu volných prostorů mezi zrny písku vycházíme z tzv. ideální pískové formy. Je to forma upěchovaná ze zrn ideálního tvaru / kulových o poloměru R /, stejného \emptyset s nulovou roztažností. Zrna nejsou pokryta vrstvou pojiva. Různou intenzitou upěchování lze dosáhnout změny vzájemného uspořádání zrn. V případě upěchování nejmenší intenzitou pěchování můžeme předpokládat, že dochází ke styku 4 kulových zrn. Velikost dutin mezi zrny má velký význam pro rozbor vnikání kovu mezi zrny.

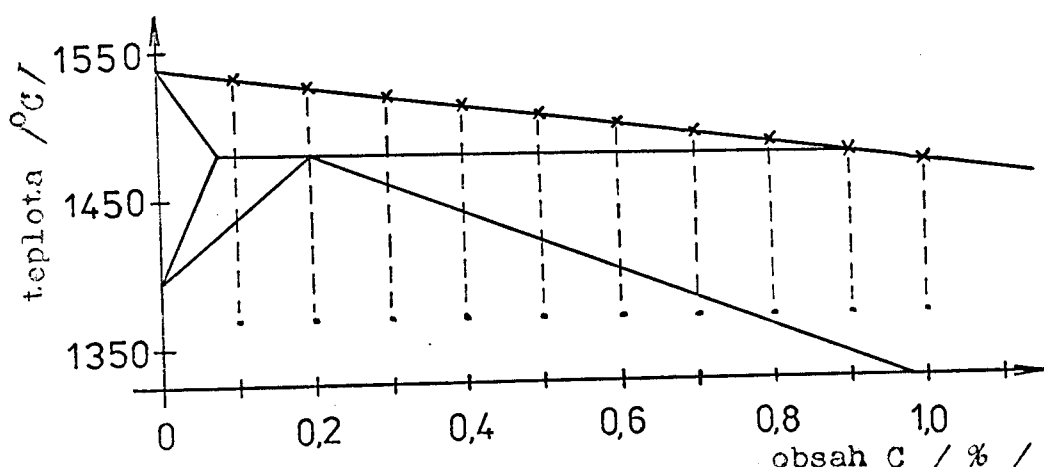
Druhy průduchů se dají pozorovat ve svislé rovině procházející osou zrn, v rovinách odkloněných od svistěho směru o 30° . V tomto případě se volný prostor mezi zrny rovná 39,6 % celkového prostoru formy. Při nejtěsnějším uspořádáním je volný prostor mezi zrny 25,9 %.

3.2. Penetrace taveniny do formy

/ Chemické a fyzikální působení /

Je známo, že prvky vyvolávající zvýšení tekutosti taveniny současně usnadňují její penetraci do formy, a to při

nižší teplotě než bez jejich přísady. Ukazuje se, že pokud je teplota na povrchu odlitku nad teplotou solidu, což je umožněno u oceli s vyšším obsahem uhlíku, může nastat penetrace kovu do formy, proto také může dojít k místnímu zvýšení penetrace, je-li na povrchu formy přítomna na uhličující látka, která místně rozšíří interval tuhnutí a pozdě vytvoření ztuhlé kůry, která by se bránila penetraci



Po odlití a vychladnutí odlitku je možné pozorovat v určité vrstvě písku přilehlé k povrchu odlitku zcela změněné vlastnosti. Vytvořená souvislá masa je typické šedé barvy a lesklého povrchu. V některých případech je tato vrstva pevně spojena s povrchem odlitku. Chemický rozbor odložené vrstvy ukázal toto složení: 88 % SiO_2 , 1,6 % Fe_2O_3 a 9,2 % FeO . Dále se zde tvoří za vysoké teploty fyalit / $2 \text{FeO} \cdot \text{SiO}_2$ /, mulit / $3 \text{Al}_2\text{O}_3 \cdot 2 \text{SiO}_2$ /. Z uvedeného rozboru vyplývá, že spékání křemenných zrn písku může pokračovat až do poměrně nízkých teplot. Průběh penetrace může být

rovněž ovlivněn obsahem mangantu v odlévaném kovu.

Účinek atmosféry ve formě.

Při rozboru reakcí na povrchu formy po vlnití kovu je nutné brát v úvahu účinek atmosféry ve formě, především je důležitý poměr CO k CO₂. Zvýší-li se koncentrace CO₂ dochází k výraznému okysličování kovu, uplatňuje se tu i molekulární kyslik ze vzduchu nebo atmosféry z bezprostřední atmosféry odlitku. K zábraně povrchových fyzikálněchemických reakcí je vhodné snižovat rovnovážný uhlíkový potenciál legováním. Proti okysličování a oduhlíčování působí rovněž zvýšená rychlost chladnutí odlitku.

Je několik teorií k vysvětlení mechanizmu pronikání taveniny do formy. Podle jedné se předpokládá expanze kovových par do pórů formovacího materiálu a jejich následující kondenzace. Ukázalo se však na základě výpočtů, že množství kondenzovaného kovu by bylo příliš malé, než aby mohlo vyvolat penetraci kovu. Proti této teorii mluví i to, že chemické složení pronikajícího kovu je stejné jako v odlitku. Z hlediska velkých rozdílů tlaku par různých prvků v kovu by takto předpokládaná kondenzace nemohla proběhnout.

Při styku taveniny s formou mohou nastat tyto dva případy : 1/ tavenina nevniká do porů mezi zrny
2/ tavenina vniká do pórů mezi zrny formovacích směsí a prosakuje jimi hlouběji.

3.3. Difuse v povrchových vrstvách

Dosud málo propracovaným odvětvím je povrchové legování

odlitků. Jsou však známé některé práce, které ukazují, že nátěr formy, obsahující legující prvek, může za určitých podmínek působit na vlitý kov a povrchově ho nalegovat. Výklad kinetiky tohoto děje se opírá jednak o postupné natavování vrstvy legující nátěru, jednak o difusi, která může proběhnout mezi tekutou legující vrstvou a tuhou povrchovou vrstvou odlitku.

Difuse nastává obecně při koncentračním spádu $\frac{dc}{dx}$, kdy určité množství látky m difunduje v jednotce času plochou řezu S . Podmínky difuse je možno stanovit prvním Fickovým zákonem :

$$m = S \cdot D \frac{dc}{dx} \quad , \quad D \text{ ... součinitel difuse} \\ x \text{ ... dráha difuse } /m/$$

Změna koncentrace s časem v určitém bodě difusní plochy je vyjádřena druhou Fickovou rovnici :

součinitel difuse je závislý na teplotě, jak vyplývá ze vztahu podle Braunse : $D = D_0 e^{-\frac{Q}{R \cdot T}}$ $R \text{ ... plynová konstanta } = 8314 \text{ J} \cdot \text{K mol}^{-1} \text{ K}^{-1}$

Paschke a Hauttmann se experimentálně zabývali sledováním průběhu difuse některých prvků jako C, Si a Mn v tekutém a tuhém železe. Koeficient difuse při $t = 1500^\circ\text{C}$
 $D_{\text{Si}} = 5,45 \times 10^{-9} \text{ m}^2 \text{ s}^{-1}$
 $D_{\text{Mn}} = 11,1 \times 10^{-9} \text{ m}^2 \text{ s}^{-1}$

Největším promlémem vytvoření jakostního hladkého povrchu odlitku a rovnoměrně nalegované vrstvy.

4. Plyny v kovech

4.1. Pohlcování plynů v kovech

V kovech jsou rozpuštěny všechny plyny, s nimiž přicházejí do styku tekuté kovy v technologickém procesu ve slévárně. Pohlcování plynů považujeme za slévárenskou vlastnost kovů a slitin, protože obsah plynů v tavenině má významný vliv na obtížnost výroby dobrého odlitku. Rozpustnost plynů v kovech je malá při nízkých teplotách, náhle se zvyšuje při přechodu kovu do skupenství tekutého, dále roste při zvyšování teploty taveniny.

Plyny jsou v kovech buď prostě rozpuštěny nebo chemicky vázány. U některých kovů vanadu nebo titanu se s rostoucí teplotou rozpustnost plynule zmenšuje. Plyny lze metalograficky zjistit jen tehdy, tvoří-li ve struktuře tuhé sloučeniny, např. kysličníky nebo nitridy. Jsou-li rozpuštěny, nelze je metalograficky zjistit.

Při ochlazování a zvláště pak při tuhnutí kovů a slitin rozpustnost plynů v kovu se opět zmenšuje a plyn se vyloučuje. Při tuhnutí kovu však zůstává v kovu uzavřen, tvoří bubliny ve stěnách odlitku a tím jej znehodnocuje. Proto se musí plyny z kovu před odléváním odstranit. Při tom se postupuje podle toho o jaký plyn jde.

4.2. Odvádění plynů z jader

U drobných jader stačí vytvořit vzdušný kanálek při pěchování tím, že se zaformuje tlustý drát, který se po zaformování vytáhne nebo vpichnutím bodce, často se pěchují do

jádra provazce, které se po zhotovení vytáhnou nebo se při sušení ve formě spálí. Jiný způsob je tím, že se do jádra zaformuje vosková šňůra nebo profil z plastické hmoty, které se při sušení rozpustí nebo spálí a zanechají po sobě průduch.

Větší jádra se vyplňují koksem, aby byla lehká a dobře prodyšná. Z koksové náplně se vytvářejí plyny ven obvykle trubkami, které se do jádra zasadi. Někdy se tyto využívají trubky přivaří přímo k výstuze.

Sousedí-li spolu několik jader, která jsou obklopena tekutým kovem, musí být jádra spojena kanálky, kterými se přivádějí plyny z jednoho jádra do druhého a do třetího a dále z formy ven.

Jádro nesmí nikdy být úplně uzavřeno kovem, vždy musí být v odlitku otvor, kterým mohou plyny unikat a kterým se po odlití také jádro a výstuhu odstraní. Tento otvor je-li třeba, se uzavře zátkou.

4.3. Vlivy působící na intenzitu vývinu plynů.

Na fyzikálně chemickém procesu tvorby plynů z formy při liti působi :

- a/ vypařování vody / vlhkost / a jiných kapalných a prchavých látek
- b/ rozpínání vzduchu v pôrech formy / jádra / vlivem zvýšené teploty
- c/ destilace pevných a kapalných látek
- d/ vylučování chemicky vázané vody / jíly /

- e/ rozklad materiálu
- f/ hoření organických látek
- g/ disociace tvořících se plynů

Uvedené procesy probíhají současně v ovlivněném povrchovém pásmu formy téměř současně a těžko se sledují. Berg a Medvěděv zjistili, že zvyšováním obsahu pojiva se absolutní vývin plynů zvětšuje, součinitel prohřátí formy se však zmenšuje.

Samsonowicz ukázal, že se zvyšováním kamenouhelného prášku ve formovací směsi se zvětšuje rovněž objem tvořících se plynů. Množství plynů v dutině formy při stoupající vlhkosti je závislé rovněž na pôroditosti směsi, t.j. na hrubosti ostříva vytvářejícího prostor mezi zrny.

4.4. Plynnotvornost jádrových směsí

Plynnotvornost jádrových směsí je základní charakteristikou všech formovacích materiálů, jež jako pojiva používají umělých pryskyřic. Plynnotvornost je určována jako relativní objem plynů, které vyvinou z jednoho gramu směsi, nebo v ml/100 g. V literatuře bývá označena jako plynatost. Stejný název je používán i pro rychlosť vývinu plynů, což je číselná hodnota, mající fyzikální rozdíl $\text{g} \cdot \text{m}^{-2} \cdot \text{s}^{-1}$ a definována jako maximální rychlosť vývinu plynů z plochy 1 cm^2 povrchu směsi při dané teplotě 1 000 °C. Z důvodu rozlišení obou různých veličin je používán název plynnotvornost směsi pro množství plynů, jež se vyvine z 1 g směsi při dané teplotě a plynnotvornost pojiva ve směsi obsažené při dané teplotě.

Při posuzování plynnotvornosti nerozhoduje o vlastnostech jen objem plynů, ale také čas, za který se množství plynů uvolní. Obě veličiny objem a čas je nutné sledovat současně, protože jen komplexní posouzení určí použitelnost a kvalitu zkoumané směsi.

Při odlévání kovu do formy je jádro tepelně velmi namáháno. Dochází k vývinu plynů, které dodatečným ohříváním z teploty vzniku na teplotu v daném místě ještě zvětší svůj objem. Toto zvětšení objemu je dáno součinitelem objemové roztažnosti a rozdílem právě přítomné teploty a teploty vzniku plynů.

Vývin plynů se děje na základě řady fazikálně chemických dějů. Můžeme si jej rozdělit podle původu vzniku na zdroje z :

- 1/ vypařování vody a jiných tekutých látek,
- 2/ spalování organických látek,
- 3/ termický rozpad organických látek,
- 4/ vyloučení vody, která je součástí minerálů,
- 5/ disociace plynů,
- 6/ rozpinavost vzduchu obsaženého v pôrech a dutině formy.

Tyto procesy probíhají při různých teplotách, při čemž intervaly teplot, v nichž dané zdroje plynů jsou v činnosti se mohou i nemusí překrývat. Záleží to na materiálech formy, jádra, jejich přídavných složek, na druhu odlévaného materiálu a teplotě lití.

Z přehledu je také patrná různá fyzikálně chemická podstata dějů, při nichž se plyny tvoří. Navíc se jednotlivé

zdroje navzájem ovlivňují. Studiem plynnotvornosti je tím ztěženo a přesné určení podílu jednotlivých zdrojů je velmi komplikované, pokud je vůbec možné.

4.4.1. Vypařování vody

Vypařování vody dosahuje maximální intenzity při odlévání do syrových pískových forem, kde je voda obsažena ve velkém množství. Jiné vypařující se kaoliny se do formovací směsi dostávají buď při přípravě nebo dodatečně navlháním. Přebytečná voda se odstranuje vysoušením, při čemž účinnost, t.j. stupeň odstranění vlhkosti závisí na vazbě kapaliny a směsi. Rozeznáváme tři druhy vazeb :

- a/ chemická vazba - vzniká při vzniku krystalohydrtů
- b/ fyzikálně chemická vazba - vzniká při vzájemném rozpouštění vody a látek a při absorpčních procesech
- c/ chemicko-mechanická vazba - závisí na kapilárních silách, kapilárním tlaku na stavu povrchu.

4.4.2. Spalování organických látek

Oxidace organických látek může probíhat pouze za přítomnosti kyslíku, jehož zdrojem je O_2 ze vzduchu, vody, CO_2 . Vzduch je obsažen v pôrech a dutinách formy, jeho množství je omezené a vliv malý. Větší význam má okysličování tuhého uhlíku vodními parami. Tyto reakce probíhají při teplotách nad $800^{\circ}C$. Je-li kyslík přítomen volně, dochází k hoření organických látek s přednostním vznikem CO_2 . Ve formách i jádrech mohou vznikat ještě jiné oxidační

reakce vzhledem k uhlíku. Rychlosť průběhu reakci je dána jejich rovnovážnými konstantami.

4.4.3. Termický rozpad organických látok

Termický rozpad organických látok je proces pomalého tepelného rozpadu organických látok, probíhajici bez přístupu vzduchu nebo při jeho omezeném přístupu. Dochází k poruše struktury destilaci nejprve lehčich frakci, později / po zvýšení teploty / těžších. Konečným produktem reakce je koks.

Chemické složení plynu je dáné množstvím par vody, olejů, typem pryskyřice atd., přítomen je vodík, CO a CO₂.

Proces tepelného rozpadu je důležitý hlavně u formovacích a jádrových směsi, které obsahují velké množství organických látok. Tento zdroj je aktuální pro všechny jádrové a formovací směsi, jež jsou předmětem zkoumání této práce.

4.4.4. Disociace plynů

Plyny vznikají v důsledku termického rozpadu látok, obsažených ve formovacích a jádrových směsích, mohou vstupovat do reakci mezi sebou, tak s látkami slitiny a formy. Mnohé probíhají ve zvětšeném objemu a jsou provázeny zvěšenou rychlosťí úniků plynů z formy. Mezi tyto reakce patří procesy rozpadu uhlovodíků vedoucí k usazování uhlíku do pôru formovacieho materiálu ve formě sazí.

4.4.5. Vyloučení vody z minerálů

Voda vázaná minerálem je trojího druhu :

a/ Konstituční voda - je charakterizována pevnou vazbou

a stálým chemickým poměrem. Uvolňuje se vypalováním nebo chemickou reakcí, proces nevratný.

- b/ Krystalizační voda - je též obsažena v minerálech v určitém poměru, vazba je slabší a proces je zpravidla vratný.
- c/ Volně vázaná voda - není vázana chemicky, proniká volně do krystalu, odstranění této vody je proces vratný.

4.4.6. Rozpínání vzduchu obsaženého v pôrech a dutině formy

Vzduch, uzavřený v dutinách formy, odchází převážně přes výfuky a v omezeném množství přes pory forem a jader. Obsah vzduchu je podle pôrovitosti směsi 20 - 25 % objemu směsi, jeho objem však ohřátím roste. Vznik případných vad tímto zdrojem plynů je možný ppuze u materiálu s velmi malou prodyšností, v případě pískových forem a jader se většinou neuplatní.

Uvolňování plynů ve formách a jádrech s homogenním složením začíná u povrchu, který je ve styku s odlitkem. S posunem fronty teplot se přesouvá dále do hloubky formy. Podle velikosti objemu uvolněných plynů je ve formě rozlišeno několik zón, jež určuje tzv. plynový režim forem a jader.

5. zkoušky a druhy jádrových a formovacích směsi

5. 1. Technologické zkoušky směsi

Hodnocení vlastností za syrova

- a/ vlhkost - stanovuje se z diferenční sušením při $105-110^{\circ}\text{C}$ do ustálené hmotnosti. Po vychladnutí v exikátoru se váží,
- b/ vaznost - základní zkouška formovacích, po případě jádrových směsi za syrova, ale není samo o sobě dostačující,
- c/ tekutost - pro provozní kontrolu je nejjednodušší stanovení tzv. volné tekutosti. Její hodnota je rozhodující pro chování směsi při formování. Stejná tekutost zajišťuje pravidelnost vlastnosti forem a jader, stejný stupeň upěchování, pravidelnost výsledků při vstřelování a pod. Volná tekutost se stanovuje na zařízení, v němž se 150 g formovací směsi proseje přes sítě se světlostí ok 2 mm do trubky s uzavřeným dnem,
- d/ prodyšnost - její hodnota udává schopnost upěchané směsi propouštět plyny a páry. Vyjadřuje se počtem cm^3 vzduchu, který se protlačí za 1 minutu části zkušebního tělíska o průřezu 1 cm^2 a délce 1 cm při přetlaku vzduchu 100 N / m^2 . Stanovuje se na normalizovaném válečku umístěném v pěchovací trubce.
- e/ prodyšnost - po vysušení měří se na normalizovaných válečcích, vsunutých po vysušení do přípravku s nafukovací manžetou, která váleček po obvodu utěsní.

Vlastnosti při lití.

- Mechanická pevnost - její hodnoty mají odpovídat namáhání formy a jádra litým kovem.
- Prodyšnost - umožňuje odchod plynů z formovací směsi. Závisí především na zrnitosti písku a objemové hmotnosti spěchované směsi.
- Plynatost - udává množství plynů vyvijených směsi při lití. Není důležité jen množství plynů, ale též rychlosť / kyнетika / jejich vývoje. Tlak plynu na kov se projevuje ve dvou maximech, z nichž prvni nastávajici tlak si během 5 až 10 sekund po zalití kovem, je rozhodujici pro vznik bublin.
- Objemové změny směsi při lití - přilišná roztažnost formovacího materiálu vede u hlinitých směsi k zapalům, u většiny směsi ke zhoršení vytoukání jader.

Průměrná pôrovitost formy nebo jádra je výslednicí zrnitosti písku a objemové hmotnosti. Rozhoduje společně s dalšími přísadami o hladkosti povrchu odlitku. Zhroutivost je důležitá u jader, která musí povolovat tlaku smrštujicího se kovu. Nepoddajné směsi mohou vést k trhlinám.

5.2. Používané druhy pojiv.

5.2.1. Vodní sklo.

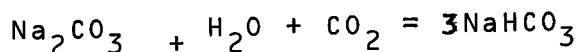
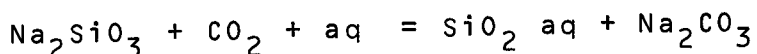
Po bentonitu je vodní sklo nedůležitějším anorganickým pojivem. Je to vhodný roztok křemičitanu sodného získaný jeho rozpuštěním za tlaku párou v autoklávu. Podle potřeby se dále upravuje louhem soudným a zahušťuje. Pro slevače je důležité znát hustotu a modul vodního skla, t.j. molární poměr $\text{SiO}_2 / \text{Na}_2\text{O}$. Praxe se ustálila v rozhodující míře na používání dvou typů vodního skla : vodní sklo sodné, upravené, hustota 1,345 kg/dcm³ modul 3,5., vodní sklo sodné zahuštěné, hustota 1,510 kg/dcm³ modul 2,5.

Vlastnosti a zkoušení vodních skel jsou obsaženy v čs. normě ČSN 65 3191. Tři obměny lišící se způsoby zpevnění směsi.

a/ Dehydratace vodního sklad vysušením forem jader nebo jejich částečným obeschnutím na vzduchu. Protože směsi s vodním sklem jsou nevazné, přidává se ke zlepšení vaznosti jiné pojivo, zpravidla jíl. Jsou velmi pevné a obtížně se vytloukají.

b/ Vodní sklo se ztuží za přítomnosti přísady způsobující pozvolný jeho rozklad za vzniku gelovitého hydrátu kysličníku křemičitého. Postup Nishyama /3/ využívá exotermické reakce mezi křemíkem prachového ferosilicia a vodního skla podle reakce $2 \text{ Si} + 2 \text{ NaOH} + \text{H}_2\text{O} = \text{Na}_2\text{O} \cdot \text{SiO}_2 + 4 \text{ H}_2$. Tuhnutí způsobuje jednak dehydratace vodního skla vstupem vody do reakce, jednak odpaření vody účinkem tepla vybaveného exotermickou reakcí.

c/ Vodní sklo se rozloží rychle kyselinou. Ve slévárenské praxi se výhradně používá kysličníku uhličitého. Vodní sklo se rozkládá podle reakcí :



Podle Berga a Ivanova /5/ probíhá tvrzení ve dvou obdobích. V prvním se snižuje obsah hydroxidu sodného až na 0 a obsah uhličitanu sodného roste do maxima, při uvolnění tepla 86 kJ/mol. Vzniklá soda zadržuje 10 molekul krystalické vody a vykazuje tmelici vlastnosti. V průběhu druhého období se na úkor obsahu Na_2CO_3 tvoří kyselý uhličitan sodný NaHCO_3 bez obsahu krystalické vody a tedy bez tmelicích vlastností. Zkoušky prokázaly, že objevení se NaHCO_3 vede k poklesu pevnosti směsi. Hydroxid sodný je tedy rozhodující složkou vodního skla při vytvrvzování.

5.2.2. Pojiva odvozená od umělých pryskyřic.

Význam umělých pryskyřic ve slévárenství v posledních letech značně roste a jejich rychlý rozvoj ukazuje stále nové možnosti uplatnění.

Názvem umělé pryskyřice se označují látky, jejichž podstatou jsou makromolekulární látky, které lze tvářet teplem, tlakem nebo obojím současně. Podle toho, jak se chovají při zahřívání, dělí se pryskyřice na - termoplastické -, jejichž vlastnosti se při zahřívání mění vratně. Působením tepla tyto pryskyřice měknou a při ochlazení opět tvrdnou.

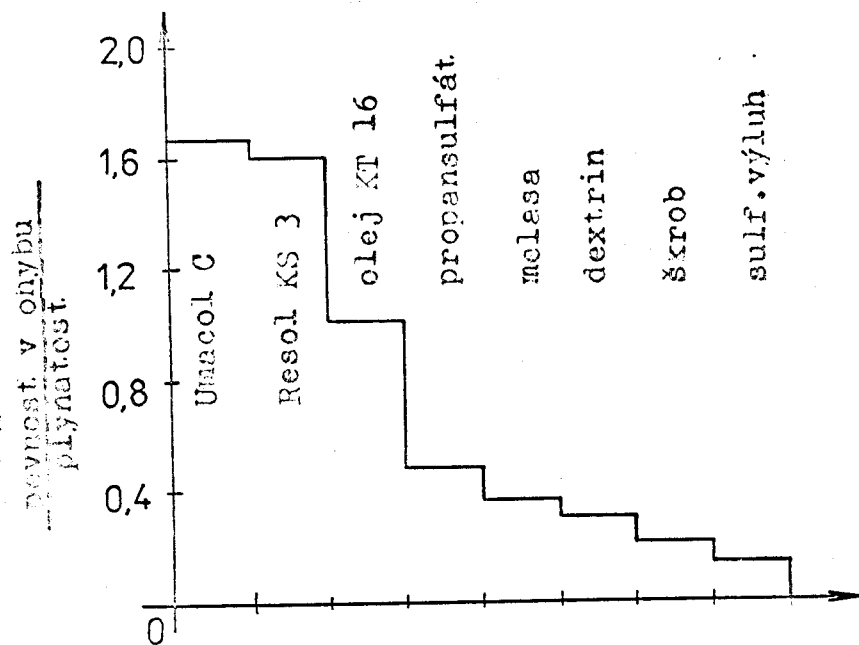
Termoreaktivní - které při zahřívání přecházejí nevratně do netavitelného a nerozpustného stavu. Základní pochody, kterými vznikají vysokomolekulární sloučeniny jsou polymerace a polykondenzace.

Pryskyřice používané ve slévárenství jako pojiva formovacích a jádrových směsi jsou termoreaktivní, přecházejí nevratně do netavitelného a nerozpustného stavu polykondenzací. Ve slévárenství nalezly pryskyřice toto uplatnění:

- a/ směsi na sušení,
- b/ skořepinové formování,
- c/ samovolně tvrdnoucí směsi,
- d/ metoda horkých jaderníků,
- e/ směsi s ovládaným ztužováním.

5.2.3. Pryskyřice pro směsi na sušení.

Nejdůležitějším druhem těchto pojiv jsou fenolformaldehydové pryskyřice. Výchozími látkami pro jejich výrobu jsou fenol C_6H_5OH a formaldehyd CH_2O . Reakcí mezi fenolem a formaldehydem vznikají postupnou kondenzaci složitější sloučeniny - rezoly. Jsou to tuhé nebo kapalné hmoty snadno tavitelné, rozpustné v organických rozpouštědlech. Ve formě vodných roztoků rezol přicházejí pryskyřice do slévárny. Zahříváním, též dlouhodobým nebo nevhodným skladováním přecházejí rezoly postupně v rezity kaučukovitého charakteru. V rozpouštědlech pouze bobtnají, ale do roztoku ne- přecházejí. Dalším zahříváním vzniká ze současného vylučování vody z rezitu rezit, konečný produkt polykondenzace. Sušení pryskyřice záleží v převedení rezolu na rezit a v odstranění reakci vzniklé vody.



Pryskyřice mají proti olejovým pojivům tyto výhody :

- a/ rychlý průběh polykondenzace, umožňující zkrácení sušicích dob o 50 - 70 %
- b/ proti olejům a jiným pojivům na sušení mají pryskyřičná pojiva nejmenší vývin plynu
- c/ vystupňovaná migrace pojiva k povrchu jádra při sušení snižuje ~~čet~~ jader, vzniká méně zadrobenin
- d/ pojiva jsou méně citlivá k teplotě sušení než oleje, je menší nebezpečí přesušení nebo nedosušení jader.
- e/ zlepšuje se rozměrová přesnost sušených jader, protože pryskyřice vystavená teplotě rychle ztužuje a nedochází k přechodnému poklesu vaznosti jako u olejů.

Nevýhody :

- a/ omezená skladovatelnost
- b/ nutnost přesnějšího dodržování technologických předpisů jádrových směsi
- c/ zvýšená lepivost a sklon k osychání
- d/ zhoršení hygieny práce - při práci je třeba dodržovat přísné hygienické zásady.

V našich slévárnách se nejvíce používají pryskyřice :

FRPA - 85 - fenolformaldehydová pryskyřice modifikovaná polyamidem,

- vhodná pro mechanicky namáhaná jádra

- nesnáší ředění vodou

Rezol KS 3 - fenolformaldehydová pryskyřice

Močovinoformaldehydové pryskyřice se neujaly - citlivější na sušení.

5.2.4. Pryskyřice pro skořepinové formování

Základní složkou pojiv pro skořepinové formování jsou novolaky připravované kondenzací nadbytku fenolu s formaldehydem ve vodním prostředí za přítomnosti kyselin. K nevratnému vytvrzení je nutné dodat hexametyléntraamin/ CH_2N_4 , uvolňující zahřátím formaldehyd, potřebný k vytvoření rezitového prostorového síťoví a tím netavitelné makromolekuly.

Na našem trhu jsou pro skořepinové formování dodávány :

Tmel BT 3 - práškové pojivo s obsahem 10 + 1,-% hexamylentetraaminu

Fernal F 1170 - lihový roztok novolaku, ke kterému je nutné přidat příslušné katalyzátory.

Zatím so tmel BT 3 se dá použít jak pro práškové, tak i pro obalované směsi, Fernal F 1170 slouží výhradně připravě směsi obalovaných.

5.2.5. Pojiva pro samovolně tvrdnoucí směsi

Pokud máme na mysli samovolně tvrdnoucí směsi s orga-

nickými pojivy, jsou převážně buď z furanových pryskyřic nebo z chemicky upravených olejů. Základním stavebním kamenem furanových pryskyřic je heterocyklická sloučenina furan, bezbarvá kapalina chloroformového zápachu s bodem varu 32-33 °C, nepatrнě rozpustná ve vodě. Na trhu jsou tato pojiva naší výroby :

- Vitresit SL - furanaminoaldehydové pojivo vhodné pro odlitky ze šedé litiny a neželezných kovů, samovolné vytvrzení se dosahuje přísadou katalyzátoru SL a podle potřeby též urachlovače SL.
- Vitresit L - furanové pojivo, vhodné pro odlitky ze šedé litiny
- zlepšená rozpadavost
---vytvruje se Arexolem
- má menší pevnost.
- Vitresit ORT - furanalové pojivo s vyššími pevnostními hodnotami směsi
- vyšší tepelná stálost, větší odolnost proti nyvlhání
- vhodná na jádra pro ocelové odlitky.

5.2.6. Pojivo pro horké jaderníky.

Zpravidla vycházejí z furanových nebo fenolfarmaldehydových pryskyřic, kombinovaných často s močovinoformaldehydovými pryskyřicemi. Protože vytvrzení se dosahuje ohřevem, mohou být méně reaktivnější nebo se volí snížený obsah katalyzátoru, takže životnost směsi je lepší. U nás je na trhu pojivo FC resol, formaldehydová pryskyřice nastavovaná cukrem, s delší dobou vytvrzování /asi 2 min./ Reaktivnější pojiva

jsou u nás teprve vyvíjena.

5.2.7. Pojiva pro studené jaderníky.

Jsou to pojiva organického charakteru, schopná zpevnit směs několika sekund za normální teploty. Pojivový systém je odvozen od uretanu a má tři složky. První - organický polyol je zdroj hydroxylových skupin, druhá obsahuje aktivní izokyanátové skupiny. Třetí složkou je katalyzátor /terciální amin/, který se převádí do jádra smichán se vzduchem v Lynné formě / 8,9 /. Zásadní nevýhodou tohoto způsobu jsou zhoršené hygienické a bezpečnostní podmínky. Pojiva nesmějí přijít ve styk s pokožkou. Pracoviště i lici pole musí být dokonale větráno..

Směsi pro horké jaderníky :

fenolformaldehydová pryskyřice FC - Moravské chem.
závody, n. p.
Ostrava 2

močovinoformaldehydová pryskyřice - Umacol C, CM-VCHZ
Synthesia, Semtín

Z názvu metody vyplývá, že se směs vpraví / zpravidla vstřelením / do vyhřátého jaderníku a jeho teplem se dotvrdí.

Výhody :

- rozměrová přesnost
- vysoká produktivita
- zlepšené využití výrobních ploch
- snadné čištění odlitků
- nižší zmetkovitost jádra a odlitků

Nevýhody :

vyšší náklady na jádrovou směs
vyšší náklady na jaderníky

Proti skořepinovým jádrům se zkracuje doba na vytvrzení o 60-70 %, celý cyklus až o 50 %.

Používají se tyto základní druhy pojiv :

močovina - furfurylalkohol

močovina formaldehydová + fenolformaldehydová pryskyřice

fenolformaldehydová + furfurylalkoholová pryskyřice
+ močovina

fenolformaldehydová + furfurylalkoholová pryskyřice
fenolformaldehydová pryskyřice

Podstatou katalyzátoru je obecně kyselina a močovina.

Posledně jmenovaná látka zkracuje dobu vytvrzování až na třetinu. Zkracování doby vytvrzování má ovšem smysl pouze tehdy, je-li delší než vlastní operace zařízení.

Pokud se pracuje s katalyzovanými, reaktivnějšími směsmi, platí o výběru písku a způsobu přípravy totéž co pro furanové směsi samovolně tvrdnoucí. Dodržení doby michání není rozhodující pro životnost směsi, pokud se směs nezahřeje. Použití průběžných misiců je neúčelné, směsi lze připravovat centrální úpravou. Životnost směsi správně připravených a skladovaných za normální teploty bývá 3 - 6 hodin. Směsi jsou velmi dobře tekuté, vhodné k práci na vstřelovacích strojích, představujících základní zařízení výroby jader touto metodou.

Pevnost směsi po ztvrzení závisí na druhu a zrnitosti použitého písku, druhu pojiva a katalyzátoru, jejich množství ve směsi, vytvrzovací doby a teploty jaderníků. Obsahy

pojiva bývají nejčastěji od 2 do 2,5 %, obsah katalyzátoru od 0,1 do 0,5 %.

Furanová pojiva vyvinutá výhradně pro metodu horkých jaderníků u nás zatím nemáme.

Příklady směsi :

A/ křemenný písek	95	kg
Fesol FC	4,5-5,5	kg
kyselina boritá	0 - 02	kg

Kyselina boritá se přidává k dosažení větší hloubky pro tvrzení akumulovaným teplem po uvolnění jader z jaderníku.

B/ křemenný písek	95	kg
Glukopren	5,0	kg

Jedna z prvních směsí pro horké jaderníky, dnes se s ní již nepracuje.

C/ křemenný písek	100	kg
Corephenit	1,5-3,0	kg
katalyzátor /kyselina/	2-3	ml/směsi

Pojivo se dováží z NDR a patří k velmi dobrým pojivům z těch, která jsou u nás dostupná.

D/ křemenný písek	97,5	kg
katalyzátor SL	0,2	kg
Vitresit SL	2,0	kg
FRPA	2,0	kg
petrolej	0,1	kg

E/ křemenný písek	98,0	kg
kyselina boritá	0,1	kg
Umacol CM	2,0	kg

Pevnost v ohybu, dosahované u těchto směsí, jsou v rozmezí 3,0-5,0 MN/m² podle složení a podmínek vytvrzování. Vytvrzená jádra ztrácejí skladováním ve vlhkém prostředí pevnost a přijímají vlhkost, podobně při použití vodních

náterů nebo založení do syrových forem delší dobu před litím. Pečlivě se musí vybírat pojiva na jádra pro ocelové odlitky, u nichž se kromě nízké navlhavosti nemá vyskytovat dusik.

Směsi jsou velmi dobře rozpadavé a usnadňují čištění odlitku. Jakost povrchu odlitků je přibližně stejná, jako od olejových směsí. Náhlé zhoršení povrchů může být způsobeno sníženou tekutostí směsi, zhoršenou vstřelovatelností. Proto v tomto případě pod životnosti směsi rozumíme nejen zachování si hodnot pevnosti a otěru po vytvrzení, ale též tekutosti potřebné ke vstřelení. K zhoršení tekutosti, může dojít např. předávkováním katalyzátoru použitím teplého písku, vyšší teplotou okolí.

6. Jádrové směsi používané pro výrobu zkušebních
vzorků podle AZNP.

6.1. Metoda CROWNING - suroviny :

popis a použití : Fernal E1170 je lihový roztok fenolformaldehydové pryskyřice novolakového typu. Používá se jako pojivo do směsi pro výrobu skořepinových forem a jader vyráběných metodou Crowning. Dodává se ve třech jácostech, které se liší délkou toku. Pro výrobu obalované směsi na skořepinové formy jádra používáme Fernal jakosti A s nejkratší délkou toku.

Norma : TP-PN-506-63
Dodavatel : Moravské chemické závody n.p. Ostrava I.
Cena : Jakost A-11, 20,- Kčs / kg
Technické požadavky : laboratorní kontrola
1/ hustota 1,07 - 1,12 neprovádí se
2/ sušina 65,- 72,- % jeden vzorek
z každé šárže
3/ viskozita /měřeno Fordovým pohárkem dle ČSN
67-30-13 / tryska Ø 4 mm
min. 150 sec. " "
4/ délka toku max.30 mm " "
5/ bod měknutí s přidavkem
10 % min 93 °C neprovádí se
Poznámka : 1/ Fernal je hořlavina první třídy. Proto
je nutné zachovat při jeho zpracování
bezpečnostní opatření dle ČSN 65 02 01.
2/ V provozu AZNP Mladá Boleslav se používá pro výrobu všech druhů obalované
směsi výhradně Fernal jakosti A.

Katalyzátor K 822

popis a použití : Katalyzátor K 822 je prášková přísada pro

tepelné vytvrzování Fernalu. Skládá se ze tří složek :

Hexamethylenetetraaminu - který je kondenzační kompenzátor, jež se zúčastňuje kondenzační reakce.

Stearan vápenatý - dělící prostředek pro snadnější snímání skořepiny z kovové formy.

Siloxilu - příznivě působí proti opadavání směsi z modelové desky.

Katalyzátor K 822 se dávkuje do všech směsí pro výrobu skořepinových forem a jader.

Norma : TPD - 16-130-63

Dodavatel : Moravské chemické závody n.p. Ostrava I.

Cena : 13,40 Kčs / kg

Technické požadavky: 1/ Obsah hexamethylenetetraaminu - 65,5 - - 67,5 %

2/ zbytek po vyžihání / obsah siloxidu / min. 12,0 % /

3/ obsah hrudek max. 1,0 %

Poznámka : Obsluhu mísiče Fordath je nutno chránit před prašností. Siloxid je prachová SiO_2 , z toho důvodu je nutné, aby obsluha mísiče Fordath používala při práci s katalyzátorem respirátor.

6.2. Metoda HOT - BOX

Corephenit HB - S, HB Z

Popis a použití : Corephenit je Fenolformaldehydová pryskyřice, která se používá jako pojivo pro výrobu jader metodou HOT-BOX.

Dodavatel : VEB Chemische Werke, Cottbus NDR přes PZO Chemapol

Cena : HB S 8,84 Kčs / kg
HB ZLO 289 Kčs / kg

Technické
požadavky

- : 1/ viskozita - měřeno Fordovým pohárkem
Ø trysky 4 mm při 20°C 20-40 sec.
- 2/ vstupní kontrola :
z každé výrobní šarže došlé pryskyřice
bude vstupní kontrolou odebrán vzorek,
u kterého bude provedena kontrola vis-
kozity, kontrola pevnosti za stejných
podmínek, jako u dodavatele, výsledek
zkoušek bude porovnán s došlým atestem.
- A/ Zkušební podmínky pro rychlosť vytvrzo-
vání :
- Složení směsi :
- | | |
|---------------------|---------------|
| písek Hohenbockear | 97,5 % |
| katalyzátor HB 60 | 3 ml/kg směsi |
| Corephenit | 2,5 % |
| Vstřelovací tlak | 6 atm |
| Vytvrzovací teplota | 300 °C |
| Vytvrzovací časy | 10-60 sec, |
- Počet tělisek pro stanovení
průměrné chybové pevnosti 3 ks
- rozměry tělisek 22,4 x 22,4 x 170 mm
- okamžik stanovení chybové
pevnosti 1 hod. po vstřelu
- Min. pevnost 30 kp/cm² se musí dosáhnout
za dobu vytvrzování 20-30-60 sec.
- B/ Provozní zkoušky :
- z každé došlé výrobní šarže peyskyřice
Corephenit bude připravena 100 kg zku-
šební dávka za provozních podmínek.
30 ks vyrobených jader z této směsi bu-
de zkompletováno a vyhodnoceno v provo-
zu M2 co se týče bublin. O výsledku
zkoušky podá zprávu OTK. V případě ne-
příznivého výsledku bude tato zkouška
opakována s větším počtem jader. Bude-li
i tato zkouška negativní, provede se
reklamace u dodavatele.

C/ Náhrada provozní zkoušky stanovením obsahu N_2 v pryskyřici, kontrola dusíku v pryskyřici se bude provádět v chemické laboratoři u každé dodané šarže.
Obsah dusíku nesmí být vyšší než 2,5 %.
Na základě výsledků této nebo provozní zkoušky bude rozhodnuto o zařazení celé šarže do sériové výroby.

skladovatelnost : tři měsíce / max. 6 týdnů - doporučuje dodavatel /

Směs č. S-1

1/ Použitelnost: Směs se používá pro následující druhy skořepinových jader.

Jádro pro vložku válců číslo dílu 161.0.1006-
-184.6

2/ Dávkování :

Křemičivý písek ŠH	100 dílů	250 kg
Katalyzátor K 822	045 dílů	1,1-1,2 kg
16 % Hexy na sušinu Fernalu		
Fe_2O_3	0,12 dílů	0,40 kg
Fernal F 1170	3,0 dílů	7,5-8,5 kg
	Odpovídá sušině 2,6 dílů	

3/ Mísení :

Doba předmísení K 822 + Fe_2O_3	2 min. /čistý čas/
Doba předmísení F 1170	2 min. /čistý čas/
Doba vysoušení	12 min.
Celková doba přípravy jedné dávky cca 17 min.	
Teplota vysoušení	130 - 150 °C

4/ Poznámka : Je nutné bezpodminečně dodržovat mísení písku s katalyzátorem Fernal a dobu vysoušení. Obsluha mísiče při mísení musí používat ochranných pomůcek do prašného prostředí / respirátor /.

K 822 vážit každpu dávku. Fernal vážit na počátku směny v průběhu směny odměřovat plnosti nádoby. Nádobu na Fernal jednou týdně čistit.

5/ Směrné hodnoty obalované směsi :

Ztráta žíháním	2,5 - 3,0 %
Pevnost v tahu za horka	188-312 Psi
" " "	25 - 35 ALHA
Zrnitost D 50	0,24-0,30 mm
Obsah Hexy	9,0 - 12,0 %

6/ Laboratorní kontrola :

Ztráta žíháním : je základní zkouškou na základě jejího výsledku rozhoduje laboratoř o použitelnosti směsi. Provádí se jedenkrát za směnu a při reklamaci směsi.

Pevnost v tahu za horka : z každé dávky jeden vzorek
Obsah Hexy - při reklamaci a při podezření na špatně nadávkovaný katalyzátor
Zrnitost - informativně dle potřeby.

Směs č. S-2

1/ Použitelnost : Pro skořepinová jádra.

Jádro třmen diskové brzdy 161.0-3841-000.6
Jádro výfukového potrubí 161.0-1163-204.6

2/ Dávkování :

Křemičitý písek SH	100 dilů	250 kg
katalyzátor K 822	0,84 dilů	2,0-2,2 kg
Fe ₂ O ₃	0,5 dilů	1,25 kg
Fernal	5,0 dilů	12 - 13 kg

3/ Mísení :

Doba předmísení K 822 + Fe ₂ O ₃	1 min. /čistý čas/
Doba předmísení F 1170	1 min. /čistý čas/
Doba vysoušení	12 min.
Celková doba přípravy jedné dávky	cca 17 min.
Teplota vysoušení	130 - 150 °C

4/ Poznámka :

Je bezpodmínečně nutné dodržovat mísení písku s katalyzátorem. Fernalem a dobu vysoušení. Obsluha mísiče používá respirátor.

K 822 navažovat pro každou dávku.

Fernal vážit na počátku směny, v průběhu směny odměřovat plnosti nádoby. Nádobu čistit jednou týdně.

5/ Směrné hodnoty obalované směsi :

Ztráty žiháním	3,4 - 4,3 %
Pevnost v tahu za horka	238 - 412 Psi
Obsah Hexy	12,5 - 14,0 %
Zrnitost D 50	0,25 - 0,30 mm

6/ Ztráta žiháním :

základní zkouška na jejímž základě rozhoduje laboratoř o použitelnosti směsi. Provádí se jedenkrát za směnu a při každé reklamaci směsi.

Pevnost v tahu za horka z každé dávky jeden vzorek / buď na přístroji ALHA nebo na přístroji od H. W. /Dietertal/.

Obsah Hexy - při reklamaci směsi.

Zrnitost - informativně dle potřeby.

Směs č. S 4

1/ Použitelnost : skořepinová jádra

kolínkové jádro 161.0.1003-293.6

2/ Dávkování :

křemičitý písek ŠH tříděný	100	dílů	250	kg
katalyzátor K 822	1,8	dílů	2,4-2,6	kg
Fe ₂ O ₃	0,5	dílů	1,25	kg
Fernal	5,8	dílů	14 --16	kg

3/ Mísení :

doba předmísení K 822 + Fe ₂ O ₃	1 min. /čistý čas/
doba předmísení F 1170	1 min.
vysoušení	12 min.
celková doba přípravy	cca 17 min.
teplota vysoušení	130 - 150 °C

4/ Poznámka :

je bezpodminečně nutné dodržovat mísení písku s katalyzátorem, s Fernalem a dobu vysoušení. Obsluha mísiče při práci používat respirátor.

K 822 - navažovat pro každou dávku.

Fernal - vážit na počátku směny, v průběhu směny odměřovat plnosti nádoby. Nádobu čistit jedenkrát týdně.

5/ Směrné hodnoty obalované směsi :

Ztráta žiháním	4,0 - 5,0 %
Pevnost v tahu za horka	40 - 63 ALHA
Obsah Hexy	12,5-14,0 % vůči Fernalu
Zrnitost D 50	0,25 - 0,30 mm

6/ Laboratorní kontrola :

Pevnost v tahu za horka	z každého koše
Ztráta žiháním	jedenkrát za směnu
Zrnitost a obsah Hexy	v případě reklamace

Směs ča H-1

1/ Použitelnost :

Hot-Box na stroji sutter	
Spodní pláštové jádro	161.0.1003-260.6
Vrchní pláštové jádro	161.0.1003-260.6

2/ Dávkování : /ramenový mísic /

křemičitý písek 027-tříděný	100	dílů	100	kg
katalyzátor HCL 1:2	50	-90	dílů	50-90 ml
pryskyřice Corephenit	2,2	dílů	2-2,3	kg

3/ Mísení : / ramenový mísic /

písek + katalyzátor	3 min=
pryskyřice	3 min.
celková doba mísení	6 min.

4/ Poznámka :

udané rozmezí dávkování Corephenitu a katalyzátoru je z důvodu proměnlivosti kvality jednotlivých šarží pryskyřice Corephenitu.

5/ Směrné hodnoty směsi :

Pevnost v ohybu za studena	3,93 - 6,86 MPa
/ vytvrzovací čas 70 sec. /	40 - 70 kg/cm ²
PH směsi	4 - 5
Životnost směsi	max. 6 hodin

6/ Laboratorní kontrola :

PH směsi	z každého připravovaného koše		
pevnost v ohybu	třikrát za směnu		
příprava směsi H 1 na kontinuálním mísicí Sutter č. 1			
Dávkování :			
křemičitý písek	100 dílů	65 kg	
katalyzátor HCL 1:2	1 díl	30 - 50 ml	
corephenit	2,2 díly	1,5 kg	

Směs č. H 2.

1/ Použitelnost :

jádra Hot-Box	161.0.1003-259.6
základové jádro	161.0.1003-260.6
svičkové jádro	161.0.1003-259.6
	161.0.1003-260.6

Technologický předpis pro přípravu směsi na kontinuálním mí-
siči sutter SP 50 10

2/ Dávkování :

křemičitý písek 027	100 dílů	70 kg/min.
katalyzátor HCL 1:2	3 díly	180-210 ml
pryskyřice Corephenit	2,3 díly	1,45-1,55 kg/min.
S každou novou výrobní šarži pryskyřice Corephenit		
stanoví písková laboratoř vhodné dávkování prysky- řice a katalyzátoru pro optimální hodnoty směsi.		

3/ Misič Sutter SP 50 10 č. 3

Písek je skladován v násypce opatřené šoupátkem, kte-
ré je ovládáno pneumatickým válcem. Pryskařice se
dávkuje do misicích žlabů pomocí čerpadla a potrebi,
katalyzátor spádem přes trysku ze zásobní nádoby.
Misiči žlaby jsou opatřeny uvnitř hřidel, na nichž
jsou lopatky rozloženy ve tvaru šnekovice. V jednom
žlabu se misí písek s pryskyřicí. Ve spodním žlabu
dochází ke společnému smísení obou směsí. Výkon mí-
siče je 65 kg/min.

4/ Směrné hodnoty směsi :	
Pevnost v ohybu za studena	2,45-4,0 MPa
/ doba vytvrzování 45-50 sec. /	25,0-50,0 kg/cm ²
pH směsi	2,3 - 3,5
životnost směsi	max. 5 hodin
5/ Laboratorní kontrola :	
pH směsi	z cca 50 % dávek
pevnost v ohybu	z cca 50 % dávek

Směs č. H-2

1/ Použitelnost : jádra metodou Hot-Box	
levý diferenciál	161.0.2042-175.6
2/ Směrné hodnoty směsi :	
Pevnost v ohybu za studena	2,94-4,9 MPa
/ doba vytvrzování / 45-50 sec./	30-50 kg/cm ²
pH směsi	3,5 - 4,5
životnost směsi	max. 6 hodin
pevnost v ohybu za studena LD	2,44-4,9 MPa
příprava směsi H 2 na kontinuálním mísící sutter č.2	
dávkování : křemičitý písek 027	100 dílů 80 kg
Fe ₂ O ₃ přesátý	0,5 dílů 0,4 kg
katalyzátor HCL 1:2	3 díly 200 ml
corephenit	2,4 dílů 1,9-2,1 kg

Směs č. H-3

1/ Použitelnost : jádra metodou Hot-Box na ALBE	
žebrové jádro	161.0.1003-259.6
2/ Dávkování :	
křemičitý písek 027	100 dílů 100 kg
Fe ₂ O ₃ přesátý	0,5 dílů 0,5 kg
katalyzátor HCL 1:2	3 díly 300 ml
pryskyřice corephenit	3,3,5 dílů 3-3,5 kg
3/ Misení :	
písek + Fe ₂ O ₃	1 min.
s katalyzátorem	3 min.
pryskyřice	3 min.
celková doba misení	7 min.

4/ Poznámka :

Udané rozmezí v dávkování Corephenitu je z toho důvodu, že jakost používaného písku 027 je značně proměnlivá co se týče obsahu prašných podilů i středního zrnu D 50 a i jednotlivé dávky Corephenitu jsou od sebe kvalitou / co se týče pevnosti / rozdílné.

5/ Směrné hodnoty směsi

pevnost v ohybu za studena	3,92 - 6,86 MPa
/ vytvrzovací čas 45-50 sec. /	40-70 kg/cm ²
životnost směsi	max. 6 hodin

6/ Laboratorní kontrola :

pevnost v ohybu	z 50 % dávek
-----------------	--------------

Směs č. H-4

1/ Použitelnost :

jádra vyráběna metodou Hot-Box	202.0.1161-201.6
jádro ssaciho potrubí	202.0.1161-209.6
	202.0.1161-243.6

2/ Křemičitý písek 027 - tříděny 100 dílů 100 kg
Katalyzátor HCL 1:2 2 díly 200 ml
pryskyřice Corephenit 1,2-1,4 díly 1,2-1,4 kg

3/ Misení :

písek + katalyzátor	3 min.
pryskyřice	3 min.
celková doba misení	6 mint.

4/ Poznámka :

udané rozmezí v dávkování Corephenitu je z toho důvodu, že jakost písku 027 je značně proměnlivá, co se týče obsahu prašných podilů i středního zrnu D 50 a i jednotlivé dávky Corephenitu jsou od sebe kvalitou / co se týče pevnosti / rozdílné.

5/ Směrné hodnoty směsi :

pevnost v ohybu za studena	2,66 - 3,24 MPa
/ doba vytvrzování 45-50 sec.	27-33 kg / cm ²
životnost	max. 6 hodin

6/ Laboratorní kontrola :

pevnost v ohybu	z každé připravené dávky
-----------------	--------------------------

Směs č. H. 6

6.3. Zahraniční směsi

VEB Chemische Werke Cottbus DDR - 75 Cottbus,
Raussener Strasse 40

Usner 100 kg písku 027
4 kg Rustolu U 600 AI
1,4 kg katalyzátor K 822 ČSSR
Rudolf Usner - Chemisch - technische Produkt A - 5412
Puch bei Hallein Austria

Fursable Rezin = močovina + Furanfurfuryl-
alkohol + Fenol
100 hd píska 027
2 % pojiva Fursable 79 THB 79
katalyzátor FC 23 25 % na
obsah pojiva
ramenová michačka
Fabricant Borden France SA Division Boniface

Obalovaná směs Fernal 1170 pro šedou litinu pro jádra na strojích Loramendi Španělsko

100 kg písku
9 kg pojiva
200 g KMnO₄
snižení hladiny volných fenolů
v ovzduší

Obalovaná směs AZNP Fernal 1170 pro formy + přísada kyseliny salicylové 0,3 % na pojivo, zvýšit pevnost, aby se snížilo pojivo.

7.0. Metody měření plynnotvornosti

Metody měření plynnotvornosti můžeme rozdělit do dvou skupin podle toho, zda se snaží laboratorně modelovat tepelné namáhání jádrových a formovacích směsi, či přímo experimentálně zjišťovat množství plynů, které vznikne zalitím jádra taveninou o zvolené teplotě. Jde tedy o metody:

1. Nepřímé – nebo – li laboratorní.

2. Přímé tzv. provozní.

Pro posouzení jakosti nestáčí znát jen velikost objemu uvolněných plynů, ale i čas potřebný k jeho vývinu. Je známo, že plyny jsou odliktu nebezpečné jen do doby než se vytvoří dostatečně pevná kúra, těsně po odlití, která zamezí vnikání plynů do taveniny odliktu a vznik vad, jak o tom bylo pojednáno v dřívějších kapitolách.

Dosud nedošlo k žádnému sjednocení metod. U jednotlivých zkoušek se liší i teploty, při kterých jsou měření prováděna, takže nelze hodnoty plynnotvornosti z různých zkoušek získané porovnávat vzájemně. Je možné porovnávat pouze hodnoty obdržené jednou zvolenou metodou.

7.1. Metody přímé – provozní

Přímé metody používají buď formy a jádra zkoumaného odliktu nebo speciální vzorky různým způsobem upravené. Směs je přechovala, ohřev proveden tekutým kovem. Velikost objemu vznikajících plynů je snímána tlakoměry a plynometry.

7.1.1. Metoda Spaského

Směs je zaformována v keramickém prstenci a odvod plynů z jeho středu je křemenou trubkou, která ústí do speciální nádobky, která je hermetická a je opatřena tlakoměrem. Tlakoměr je membrána ze slabého plechu a na ní jsou tenzory snimající průhyb. Objem uvolněných plynů se vypočítá ze znalosti tlaku a vnitř-

ního objemu nádobky.

Zařízení Metoda Jašina

Směs je zaformována do speciálního tvaru. Tako připravený vzorek je vložen do kovové formy, tak že roztavený kov přitéká na spodní část vzorku. Po zalití kovem se prstenec uvolní a rozpadá. Podle míry rozpadnutí lze usuzovat na plynотvornost. Objem plynů se stanovuje podle empirických vztahů.

Zařízení Metoda PaBerga

Vzorek je kruhového tvaru o průměru 150 mm s pracovním povrchem 176 cm^2 . Pro snadný a bezpečný transport vzorků je kovový prstenec se směsi. Vzorek se zalévá vtokovou soustavou. Objem uvolněných plynů ze vzorku se měří plynometrem. Chceme-li obdržet přesný výsledek je nutno měřit i teplotu plynů a výsledek podle ní opravit.

Zařízení Metoda Piščeva

Plyny jsou odváděny ze vzorku umístěného ve středu kovové formy pomocí trubky, která je napojena na měřicí přístroj tlaku a objemu. Hodnoty jsou odečítány v předem určených časových intervalech. Vzorek je možno zalévat dvěma způsoby, ale vždy celý.

Zařízení Metody nepřímé - laboratorní

Při laboratorním měření plynотvornosti zahříváme rozmělněnou navážku zkoumané směsi v peci vyhřáté na zvolenou teplotu $600 - 1300^\circ\text{C}$. K měření se používá tzv. vlastní atmosféry, kde je zaručena stálost přípedných vlivů, vyloučena je možnost hoření za přítomnosti vzdušného kyslíku. Používá se CO_2 a N_2 nebo jiný netečný plyn. Plynотvornost lze určit dvěma způsoby:

- a/ Měření tlaku vznikajících plynů v závislosti na čase.
- b/ Měření objemu vznikajících plynů v závislosti na čase.

Laboratorní zkoušky mají tyto nevýhody:

- a/ Měření nepostihuje vliv relativní tloušťky stěny odlitku.
- b/ Vzorek je prohříván konstantní teplotou, přičemž v praktických podmínkách je teplota prohřátí jádra různá.
- c/ Žádné z těchto měření nemůže ukázat celkový akční tlak plynu z jádra v přímé souvislosti se stavem tuhnutí.

7.2.1. Měření na přístroji Ströhlein

Vzorek se vkládá do Marsovi pece vyhřáté na teplotu 1250°C . Měří se čas a množství vyvinutého plynu. Množství plynu se odečítá na kalibrované byretě z níž je kapalina plyny vytlačována do vyrovnávací nádržky. Odečitaný objem nesouhlasí se skutečným uvolněným objemem, protože tlak není konstantní, ale narůstá s poklesem hladiny.

7.2.2. Měření na přístroji PGD fy Georg Fischer +GF+

Tento přístroj vlastní v ČSR ČKD Praha závod Slévárny, autorizovaná písková laboratoř jejímž vedoucím je s. Duda Josef. Přístroj používá teplotu $800 - 850^{\circ}\text{C}/\text{max. } 1000^{\circ}\text{C}/$ a atmosféru N_2 . Navážka má hmotnost 1g.

Přístroj PGD neregistruje objem vzniklých plynů, ale sleduje jejich tlak pomocí vodního manometru. Je opatřen zapisovacím zařízením, které sleduje hladinu v tomto manometru. Současně se vstřelením vzorku je sledován čas. Měření končí při maximální hodnotě tlaku plynu s odečtením příslušného času.

Měření na tomto přístroji v ČKD Praha mělo být provedeno pro srovnání i v rámci této diplomové práce. Přístroj tohoto druhu je v ČSR jediný a v době vypracování diplomové práce, zde bylo prováděno měření v rámci státního úkolu pro většinu sléváren.

Měření na tomto přístroji má význam pro porovnání výsledků u nás a v cizině.

7.2.3. Měření podle AZNP

Měření množství plynů podle Mladé Boleslavi se provádí na zařízení, které zde bylo pro tuto potřebu zkonstruováno. Pro svá měření jsem musel celé zařízení přetěsnit a vyměnit gumové hadice. Vzorek se vkládá pomocí keramické lodičky do trubkové elektrické pece vyhřáté na 1000°C . Měření se provádí objemovou metodou tj. plyny z pece se přivádí do byretu, kde vytlačí určité množství kapaliny. Současně s vložením vzorku se začinají odečítat v určitých intervalech /5 sekund/ hodnoty objemu plynu, čímž měření zachycuje průběh změny objemu na čase. Celkové uspořádání měřicího zařízení je shodné se zkouškou podle Ornsta.

8.0 Zařízení použité k měření plynatvornosti.

Ve alévárně AZNP v Mladé Boleslavi se používá zařízení k měření plynatosti z konstruované v AZNP, jehož prýncip je popsán v kapitole 7.2.3. Zařízení bylo pro daná měření nutno přetěsnit a upravit, aby nedocházelo ke zkreslení vlivem měřicího zařízení.

Cílem této práce bylo porovnání kinetiky plynů z jádrových směsi používaných ve slévárně AZNP, se směsí ze zahraničních pojiv. Vzorky byly získány pro metodu Crowning a Hot- Box přesně podle výrobních způsobů uplatňovaných v AZNP a návodů jednotlivých firem jak jsou uvedena v kapitole 4.

8.1 Polykondenzace fenolformaldehydové pryskyřice.

Pojiva pro metodu Crowning i Hot-Box obsahuje FF-pryskyřici, která se za zvýšené teploty rozpadá. Převládají reakce zvětšující její molekulovou hmotnost.

a/ pod teplotou 170°C reaguje metylová skupina s reaktivním vodíkem jiného fenolického jádra, tvoří se metylenový můstek a odštěpuje se voda.

b/ nad teplotou 200°C dochází k částečné ztrátě FF-pryskyřic a neodštěpuje se již voda. Tato reakce je provázena zhnědnutím až zčernáním pryskyřice podle velikosti teploty.

8.2 Popis prýncipu činnosti aparatury a její obsluha.

Prýncip měření objemů plynů je odvozen od objemového měření. Snímání a zpracování informaci provádí obsluha.

Činnost: Po zapnutí elektrické pece a jejím vyhřátí na 1000°C je možno začít s měřením. Před prvním měřením se provádí tzv. "nulový pokus s lodičkou", kdy se provede vynulování byretu, vloží se prázdná lodička a vzduchotěsně uzavře.

Tím se zjistí nulový základní objem, z kterého se vychází.

Trubka se otevře a lodička se vyndá. Tím je vše připraveno pro vlastní měření. Provedeme vynulování byrety a do pecní keramické trubky vložíme keramickou lodičku, se vzorkem o hmotnosti 1g a vzduchotěsně uzavřeme. Současně se zapínají stopky, z kterých se odečítají pěti sekundové intervaly. Obsluha musí mít alespoň tři pracovníky. Jeden odečítá byrety hodnoty objemů, druhý sleduje časový interval a zapisuje hodnoty, třetí připravuje vzorky.

Použité zařízení: pec Elektrodržstvo Praha

typ MP 62 IP 220 V 50 Hz

regulované napětí 10-140 V

jmenovitá teplota 1300°C

č. 457/1972

příkon 1500 W

inv. č. 45651 - 869

byreta výrobce Kavalier

obsah 50 ml

teploměr do teploty 1200 °C

220 V - 9 A

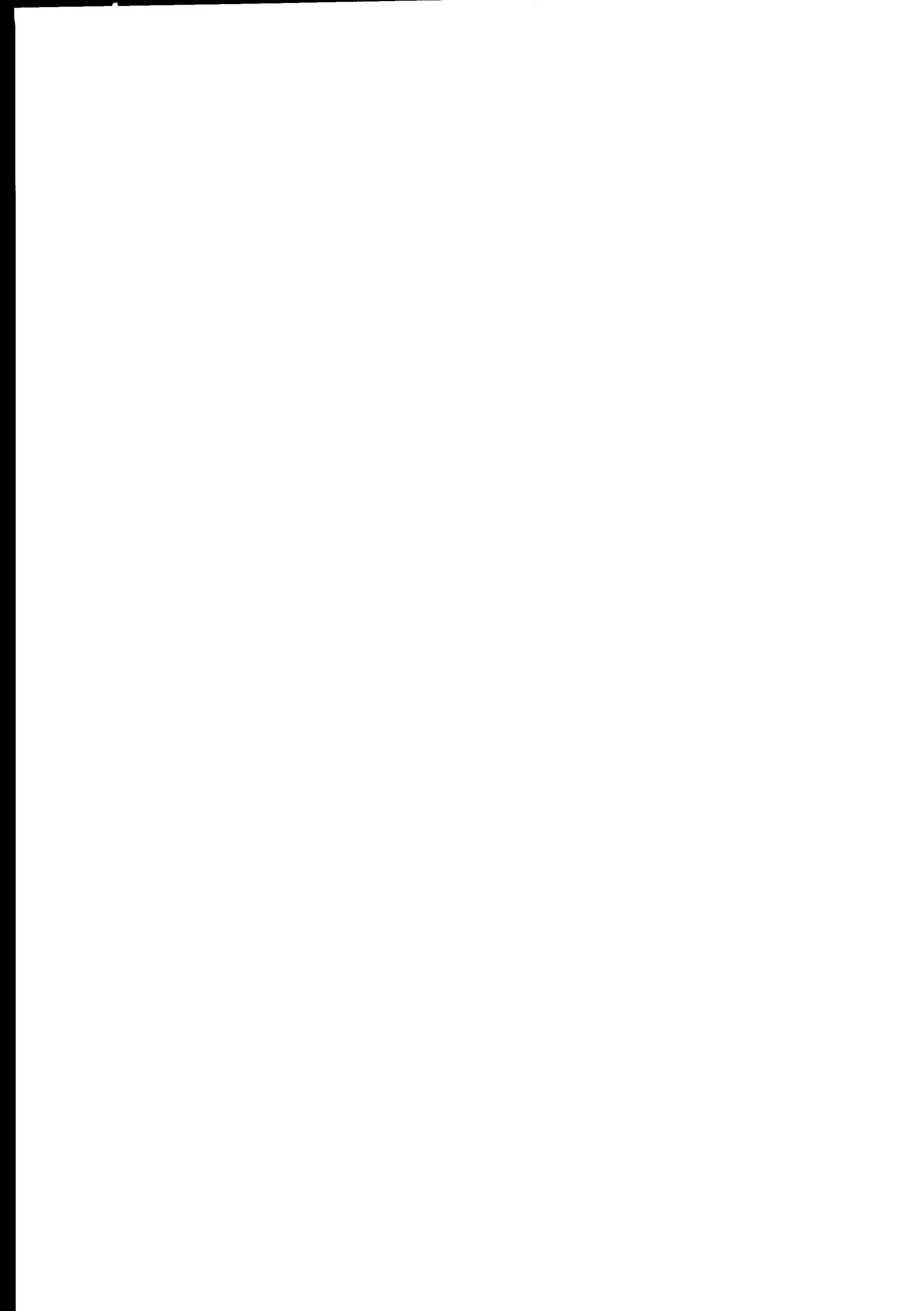
váhy výrobce Mettier

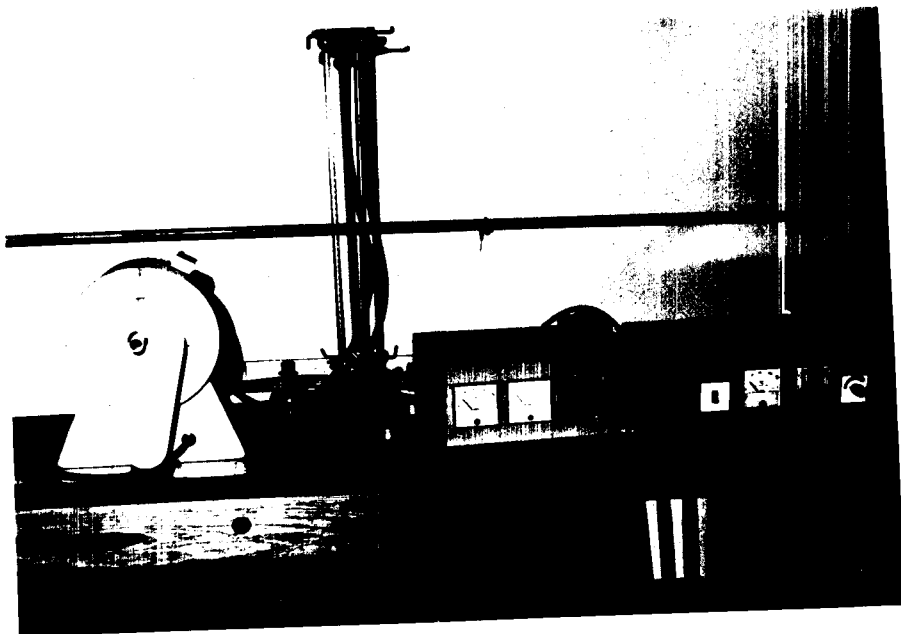
stopky výrobce Elektročas

typ TS 1 220 V 50 Hz

příkon 10 W

výrobní číslo 69 13 29





Použité měřicí zařízení.

8.3. Příprava vzorků.

Vzorky byly dvojího druhu. První byly vzorky jader vztáčích z výroby, z kterých byla odškrábána navázka 1g. Odškrábání bylo provedeno z kraje, z připečené vrstvy a ze středu vzorku. Vzniklá navázka byla nasypána do lodičky. Vzorky z výroby byly připraveny přímo na provozních strojích. Tím se získaly vzorky o provozních vlastnostech, tak jak se používají k výrobě. Druhý druh vzorků byly vzorky nových směsí, které se měly ověřit pro provoz v Mladé Boleslavi. Ty byly namichány podle firmních návodů /kap. 4/ a vytvřeny do podoby terčíků na vstřelovacím stroji pro laboratorní účely. U těchto vzorků se stanovovala plynatost i v závislosti na teplotě a času vytváření. Volil se proto rozsah teplot a časů:

180° C/60 sec.
200° C/60 sec.
220° C/60 sec.
250° C/60 sec.
300° C/60 sec.
350° C/60 sec.

400°C/60 sec.

400°C/70 sec. pro Corephenit 2%

400°C/120sec. pro Corephenit 2%

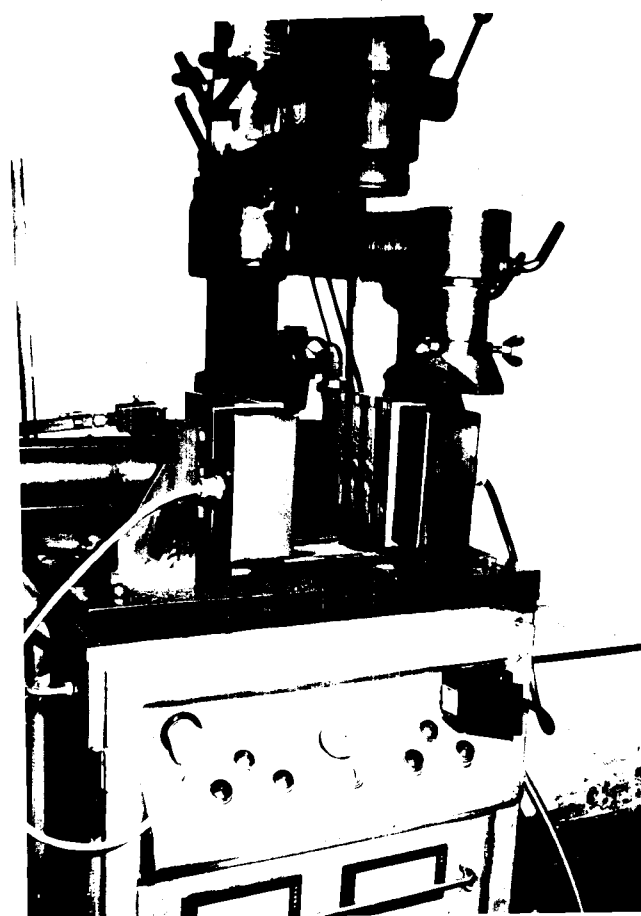
8.4. Výhody a nevýhody použité metody.

8.4.1. Nevýhody.

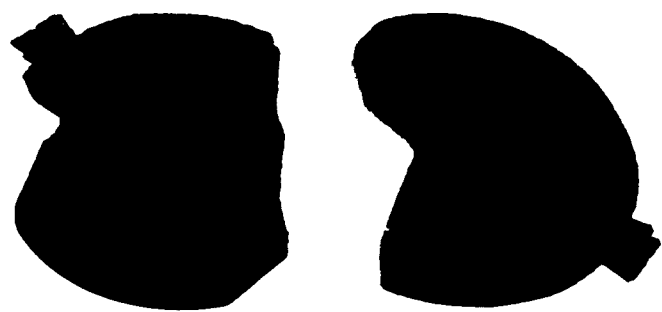
- Při odečtu hodnot plynотvornosti z byrety dochází k nepřesnosti způsobené:
- a/ nemožnosti přesně sledovat hladinu v byretě.
 - b/ zpoždění smyslů při vlastním odečtu hodnot ve stanovených intervalech.
 - c/ kolísání tlaku při měření.
 - d/ použití křehké lodičky pro vkládání vzorku směsi/vyžaduje opatrnu manipulaci/.
 - e/ malá hmotnost navážky 1g zvyšuje nároky na přesnost vážení.
 - f/ zařízení musí obsluhovat tři pracovníci.

8.4.2. Výhody.

- a/ vysoká univerzálnost této metody/lze aplikovat i v jiných oborech/
- b/ zařízení používá tzv. vlastní atmosféru není třeba profukovat celé zařízení CO₂, N₂ nebo jiným plynem.
- c/ pohodlná a nenáročná obsluha s možností okamžitého vyhodnocení výsledků po měření.
- d/ provedení zkoušek není časově náročné.
- e/ snadné a vyhovující porovnání jednotlivých vzorků, které lze provést hned po měření.



Vstřelovací stroj pro přípravu vzorků.



Způsob odběru vzorků.

9.0. Výsledky měření - tabulky

Výsledky měření prováděných v této práci jsou seřazeny pro přehlednost v tabulkách. Hodnoty plynového výkonu jsou získány průměrem tří měření. Z této průměrné hodnoty jsou sestavovány grafy, jež jsou uvedeny v grafické příloze.

Měření množství plynů ze vzorků vztáčích z výroby 24.2.1986

1/ vzorek: spodní pláště pro hlavu válců.

metoda Hot-Box

stroj Sutter

čas/sec/	1.měření	2.měření	3.měření	průměr	regresní hodnota
5	12,0	11,8	11,0	11,60	11,80
10	13,3	13,0	13,0	13,10	12,95
15	14,5	14,1	14,0	14,20	14,09
20	15,8	15,2	15,0	15,33	15,23
25	17,0	16,2	16,1	16,47	16,38
30	17,9	17,2	17,1	17,40	17,57
35	18,7	18,1	18,0	18,23	18,14
40	19,2	18,7	18,6	18,87	18,61
45	19,6	19,1	19,0	19,20	19,03
50	19,8	19,4	19,2	19,50	19,51
55	20,0	19,7	19,4	19,67	19,77
60	20,2	19,9	19,6	19,90	20,10

$$F/x = 10,666 + 0,228x \quad /0 - 30/$$

$$9,235 - x^{0,1899} \quad /30 - 60/$$

2/ vzorek: jádro vrchního pláště

metoda Hot - Box

stroj Sutter

čas/sec/	1.měření	2.měření	3.měření	průměr	regresní hodnota
5	11,6	11,7	12,0	11,80	11,80
10	12,8	12,8	13,0	12,93	12,84
15	13,7	14,0	13,8	13,83	13,88
20	14,9	14,7	15,2	14,90	14,92
25	16,0	15,8	16,2	16,00	15,96
30	16,9	16,8	17,3	17,00	17,09
35	17,7	17,6	18,0	17,67	17,68

40	18,2	18,1	18,6	18,30	18,13
45	18,7	18,6	19,0	18,76	18,53
50	18,9	18,9	19,2	19,00	18,90
55	19,1	19,1	19,5	19,10	19,24
60	19,3	19,3	19,7	19,40	19,55

$F/x = 10,768 + 0,207x$ /0 - 30/
 $9,125 + x^{0,186}$ /30 - 60/

3/ vzorek: základové jádro hlavy válčů

metoda Hot - Box

stroj AVS-16

čas	1.měření	2.měření	3.měření	průměr	regresní hodnota
5	11,5	11,0	11,6	11,39	11,35
10	12,5	12,2	12,5	12,40	12,41
15	13,5	13,1	13,7	13,43	13,46
20	14,6	14,1	15,1	14,60	14,52
25	15,6	15,0	16,1	15,56	15,58
30	16,6	16,0	17,3	16,63	16,69
35	17,2	16,6	18,2	17,30	17,27
40	17,8	17,1	18,7	17,86	17,72
45	18,2	17,6	19,1	18,30	18,13
50	18,7	17,9	19,4	18,46	18,50
55	18,9	18,1	19,6	18,86	18,84
60	19,0	18,4	19,7	19,03	19,16

$F/x = 10,296 + 0,211x$ /0 - 30/
 $8,706 + x^{0,193}$ /30 - 60/

4/ vzorek: svičkové jádro hlavy válčů

metoda Hot - Box

stroj AVS-16

čas	1.měření	2.měření	3.měření	průměr	regresní hodnota
5	12,0	11,3	12,0	11,76	11,82

10	13,2	12,3	13,1	12,86	12,82
15	14,1	13,2	14,1	13,80	13,81
20	15,1	14,2	15,4	14,90	14,80
25	16,0	15,0	16,5	15,83	15,79
30	16,7	15,9	17,5	16,70	16,83
35	17,2	16,7	18,2	17,36	17,34
40	17,7	17,3	18,8	17,93	17,74
45	18,0	17,7	19,1	18,26	18,09
50	18,2	18,0	19,4	18,53	18,42
55	18,3	18,2	19,5	18,66	18,72
60	18,4	18,5	19,5	18,80	19,00

$$F(x) = 10,837 + 0,198x \quad / \quad 0 - 30/ \\ 9,478 + x^{0,1697} \quad /30 - 60/$$

5/vzorek: Kolínkové jádro hlavy válců

metoda Hot - Box

stroj AVS-16

plněno Feprenem

čas	1.měření	2.měření	3.měření	průměr	regresní hodnota
5	12,0	12,5	12,5	12,33	12,42
10	13,6	14,0	14,0	13,86	13,96
15	15,5	15,6	15,6	15,56	15,48
20	17,0	17,5	17,2	17,23	17,00
25	18,5	18,8	18,6	18,63	18,53
30	19,7	20,0	19,8	19,83	20,06
35	20,7	20,7	20,8	20,73	20,72
40	21,5	21,6	21,6	21,53	21,31
45	22,1	21,9	22,0	22,00	21,84
50	22,5	22,4	22,8	22,56	22,33
55	22,9	22,4	22,8	22,70	22,78
60	23,0	22,6	23,1	22,90	23,20

$$F/x = 10,892 + 0,305x \quad /0 - 30/$$

$$9,825 \cdot x^{0,2097} \quad /30 - 60/$$

6/ vzorek: žebříčkové jádro hlavy válců

metoda Hot - Box

stroj Sutter

čas	1.měření	2.měření	3.měření	průměr	regresní hodnota
5	11,3	11,3	11,1	11,23	11,24
10	12,3	12,5	12,1	12,30	12,28
15	13,2	13,6	13,1	13,30	13,33
20	14,2	14,7	14,3	14,40	14,37
25	15,1	15,8	15,5	15,46	15,42
30	15,9	16,9	16,5	16,43	16,54
35	16,5	17,8	17,2	17,16	17,09
40	17,0	18,2	17,8	17,66	17,51
45	17,2	18,6	18,2	18,00	17,90
50	17,5	19,0	18,6	18,36	18,25
55	17,7	19,1	18,8	18,53	18,57
60	17,9	19,2	19,0	18,70	18,87

$$F/x = 10,195 + 0,209x \quad /0 - 30/$$

$$8,872 \cdot x^{0,148} \quad /30 - 60/$$

7/ vzorek: Kolínko ssaci trubky, odlitek Al do kokily

metoda Hot - Box

stroj AVS '6

čas	1.měření	2.měření	3.měření	průměr	regresní hodnota
5	11,4	12,0	11,2	11,53	11,59
10	12,3	13,0	12,1	12,46	12,45
15	13,2	13,9	12,9	13,33	13,30
20	14,0	15,0	13,8	14,26	14,16
25	14,7	15,8	14,7	15,06	15,01
30	15,4	16,6	15,3	15,76	15,83

35	15,9	17,0	15,9	16,26	16,16
40	16,3	17,4	16,2	16,30	16,49
45	16,6	17,6	16,6	16,93	16,78
50	16,8	17,8	16,9	17,16	17,04
55	17,0	17,9	17,0	17,30	17,29
60	17,1	18,0	17,1	17,40	17,51

$$F/x = 10,745 + 0,170x \quad / 0 - 30/$$

$$9,535 \cdot x^{0,148} \quad / 30 - 60/$$

8/ vzorek: Jádro levého diferenciálu

metoda Hot - Box

stroj AVS - 16

plněno Feprenem

čas	1.měření	2.měření	3.měření	průměr	regresní hodnota
5	12,7	13,4	13,0	13,03	13,23
10	14,0	15,2	14,5	14,56	14,65
15	15,4	17,0	16,5	16,30	16,07
20	16,8	18,5	18,0	17,76	17,48
25	18,0	19,5	19,5	19,00	18,90
30	19,0	20,5	20,5	20,00	20,24
35	19,8	21,0	21,2	20,66	20,63
40	20,4	21,4	21,8	21,20	21,06
45	20,8	21,8	22,1	21,56	21,43
50	21,1	22,1	22,5	21,90	21,78
55	21,3	22,2	22,7	22,06	22,09
60	21,5	22,3	22,8	22,20	22,39

$$F/x = 11,812 + 0,284x \quad / 0 - 30/$$

$$12,049 \cdot x^{0,151} \quad / 30 - 60/$$

9/ vzorek: Jádro vložky válců

metoda Crowning

stroj Loramendi

plněno Feprenem

čas	1.měření	2.měření	3.měření	průměr	regresní hodnota
5	11,8	11,5	11,2	11,50	11,43
10	13,2	12,8	12,5	12,83	12,89
15	14,8	14,2	13,7	14,23	14,34
20	16,5	15,8	15,2	15,83	15,80
25	18,1	17,4	16,7	17,40	17,25
30	19,3	18,7	17,9	18,63	18,75
35	20,1	19,5	18,7	19,43	19,39
40	20,6	20,2	19,4	20,06	19,92
45	21,0	20,7	19,9	20,53	20,40
50	21,2	21,2	20,3	20,90	20,85
55	21,4	21,5	20,6	21,16	21,26
60	21,6	22,0	21,0	21,53	21,64

$$F/x/ = 9,974 + 0,291x \quad / 0 - 30/$$

$$9,402 - x^{0,204} \quad /30 - 60/$$

10/ vzorek : jádro náboje kola

metoda Hot - Box

stroj AVS - 16

plněno Feprenem

čas	1.měření	2.měření	3.měření	průměr	regresní hodnota
5	12,0	12,2	12,4	12,20	12,33
10	13,2	14,0	14,0	13,73	13,71
15	14,5	15,5	15,4	15,13	15,09
20	16,0	17,2	16,7	16,63	16,46
25	17,4	18,5	18,0	17,96	17,84
30	18,5	19,5	19,0	19,00	19,19
35	19,2	20,2	19,8	19,73	19,74
40	19,9	20,9	20,5	20,43	20,25
45	20,3	21,2	21,0	20,83	20,72

50	20,6	21,6	21,4	21,33	21,15
55	20,9	21,8	21,7	21,46	21,54
60	21,2	22,0	22,0	21,70	21,91

$$F/x = 10,956 + 0,275x \quad / 0 - 30/$$

$$9,934 - x^{0,193} \quad / 30 - 60/$$

11/ vzorek: Jádro třmenu diskové brzdy

metoda Crowning

stroj Shalco

plněno Feprenem

čas	1.měření	2.měření	3.měření	průměr	regresivní hodnota
5	12,5	12,3	12,3	12,36	12,32
10	14,2	14,2	14,0	14,13	14,17
15	15,7	16,2	15,7	15,86	16,02
20	17,6	18,5	17,9	18,00	17,88
25	19,5	20,3	20,0	19,93	19,73
30	21,0	21,8	21,5	21,43	21,56
35	21,9	22,8	22,8	22,50	22,39
40	22,7	23,5	23,6	23,26	23,13
45	23,2	24,1	24,2	23,83	23,80
50	23,7	24,6	24,6	24,30	24,42
55	24,2	25,5	25,1	24,93	24,99
60	24,5	26,2	26,0	25,56	25,53

$$F/x = 10,462 + 0,370 \quad / 0 - 30/$$

$$9,422 - x^{0,243} \quad / 30 - 60/$$

12/ vzorek: Jádro výfukové trubky

metoda Crowning

stroj Shalco

plněno Feprenem

čas	1.měření	2.měření	3.měření	průměr	regresní hodnota
5	11,6	11,6	12,2	11,80	11,76

10	12,8	13,3	14,0	13,66	13,57
15	14,4	15,2	15,6	15,06	15,39
20	16,1	18,0	18,0	17,36	17,20
25	17,7	20,0	19,8	19,16	19,01
30	19,0	22,0	21,2	20,73	20,82
35	19,9	23,0	22,4	21,56	21,65
40	20,7	24,0	23,1	22,60	22,42
45	21,3	24,7	23,8	23,26	23,11
50	21,8	25,2	24,5	23,83	23,76
55	22,2	25,7	24,5	24,13	24,35
60	22,8	26,8	25,1	24,90	24,91

$$F/x = 9,950 + 0,363x \quad /0 - 30/$$
$$8,593 \cdot x^{0,2597} \quad /30 - 60/$$

U všech pokusů byl nulový pokus s prázdnou lodičkou 10,4 ml.
při 1000°C.

Druhá skupina vzorků byla namíchána ze směsi Corephenit HB Z a vytvrzena při různých teplotách a různém čase. Šarže ze dne 2.12.1985 vyrobená v VEB Chemische Werke Cottbus NDR. Směs byla namíchána s následujícími hodnotami:

vízkozita 210 MPa.s

pH směsi 3,75

ztráty žiháním 1,65 až 1,87 %

Po vytvrzení bylo dosaženo následujících pevností v ohybu za studena v kg/cm².

250°C/60s:41,54,56,35,41,42,kg/cm²

300°C/60s:56,51,50,52,47,55,kg/cm²

330°C/60s:56,47,53,51,50,55,kg/cm²

350°C/60s:53,44,51,44,43,49,kg/cm²

400°C/60s:40,36,37,36,45,39,kg/cm²

400°C/70s:bez pevnosti

400°C/120s:bez pevnosti

Měření množství plynů pro vzorky z pojiva Corephenit HB Z připravených při různých teplotách a časech.

1/ vzorek: Teplota vytvrzování - 250°C

vytvrvzovací čas - 60 sekund

čas/sec/	1.měření	2.měření	3.měření	průměr	regresní hodnota
5	11,5	11,5	12,0	11,66	11,73
10	12,5	13,0	13,0	12,83	12,80
15	13,5	14,0	14,0	13,83	13,87
20	14,6	15,4	15,2	15,06	14,93
25	15,5	16,5	16,2	16,06	16,00
30	16,2	17,6	17,1	16,96	17,10
35	16,9	18,4	17,6	17,63	17,59
40	17,3	18,9	18,2	18,13	18,00
45	17,7	19,2	18,6	18,50	18,36

50	17,9	19,7	18,8	18,80	18,70
55	18,1	19,8	19,0	18,96	19,00
60	18,2	19,9	19,2	19,10	19,29

$$F/x = 10,658 + 0,214x \quad /0 - 30/$$

$$9,573 \cdot x^{0,170} \quad /30 - 60/$$

2/ vzorek: Teplota vytvrzování -300°C

vytvrvzovací čas - 60 sekund

čas/sec/	1.měření	2.měření	3.měření	průměr	regresní hodnota
5	11,0	11,3	11,2	11,16	11,21
10	12,1	12,4	12,2	12,23	12,24
15	13,1	13,5	13,2	13,26	13,27
20	14,3	14,5	14,4	14,40	14,29
25	15,3	15,6	15,5	15,46	15,31
30	16,1	16,6	16,2	16,16	16,34
35	16,7	17,2	17,0	16,96	16,89
40	17,2	17,8	17,5	17,50	17,38
45	17,7	18,2	18,0	17,96	17,82
50	18,1	18,5	18,3	18,30	18,23
55	18,2	18,7	18,7	18,53	18,60
60	18,5	19,0	18,9	18,80	18,95

$$F/x = 10,195 + 0,205x \quad /0 - 30/$$

$$7,901 \cdot x^{0,214} \quad /30 - 60/$$

3/ vzorek: Teplota vytvrzování -330°C

vytvrvzovací čas - 60 sekund

čas	1.měření	2.měření	3.měření	průměr	regresní hodnota
5	11,2	11,0	11,1	11,10	11,14
10	12,2	12,0	12,3	12,16	12,16
15	13,0	13,1	13,5	13,20	13,18
20	13,8	14,2	14,6	14,20	14,17
25	14,5	15,5	15,6	15,20	15,18

30	15,2	16,5	16,7	16,13	16,20
35	15,8	17,2	17,1	16,70	16,73
40	16,2	17,9	17,8	17,30	17,18
45	16,6	18,2	18,2	17,66	17,59
50	17,0	18,6	18,7	18,10	17,96
55	17,2	18,7	18,8	18,23	18,30
60	17,5	19,0	19,0	18,50	18,62

$$F/x = 10,138 + 0,201x \quad / 0 - 30/$$

$$8,231 \cdot x^{0,199} \quad /30 - 60/$$

4/ vzorek: Teplota vytvrzování - 350°C

vytvrvzovací čas - 60 sekund

čas	1.měření	2.měření	3.měření	průměr	regresní hodnota
5	11,2	12,0	11,1	11,46	11,35
10	12,2	12,8	12,2	12,40	12,43
15	13,4	13,6	13,2	13,40	13,50
20	14,6	14,8	14,2	14,53	14,58
25	15,8	15,8	15,6	15,73	15,66
30	16,7	17,0	16,6	16,76	16,83
35	17,2	17,8	17,5	17,50	17,44
40	17,8	18,2	18,0	18,00	17,90
45	18,2	18,8	18,4	18,46	18,31
50	18,6	19,0	18,7	18,76	18,68
55	18,8	19,2	19,0	19,00	19,03
60	19,0	19,3	19,2	19,16	19,35

$$F/x = 10,285 + 0,215x \quad / 0 - 30/$$

$$8,802 \cdot x^{0,192} \quad /30 - 60/$$

5/ vzorek: Teplota vytvrzování - 400°C

vytvrvzovací čas - 60 sekund

čas	1.měření	2.měření	3.měření	průměr	regresní hodnota
5	11,1	11,0	11,2	11,10	11,06

10	12,2	12,0	12,0	12,06	12,06
15	13,2	12,8	13,0	13,00	13,05
20	14,2	13,7	14,0	13,96	14,03
25	15,6	14,8	15,0	15,13	15,03
30	16,6	15,6	16,0	16,00	16,10
35	17,5	16,2	16,7	16,80	16,71
40	18,0	16,7	17,2	17,30	17,19
45	18,4	17,2	17,5	17,70	17,62
50	18,7	17,6	18,0	18,10	18,02
55	19,0	17,9	18,2	18,36	18,38
60	19,2	18,1	18,4	18,56	18,72

$$F/x = 10,074 + 0,198x \quad / 0 - 30/$$

$$7,885 + x^{0,211} \quad / 30 - 60/$$

6/ vzorek: Teplota vytvrzování - 400°C

vytvrvzovací čas - 70 sekund

čas	1.měření	2.měření	3.měření	průměr	regresní hodnota
5	11,0	11,7	11,5	11,40	11,28
10	11,6	12,2	12,2	12,00	12,10
15	12,3	13,0	13,1	12,80	12,90
20	13,3	13,8	14,1	13,73	13,40
25	14,2	14,5	15,0	14,56	14,51
30	14,8	15,2	16,0	15,33	15,38
35	15,4	15,8	16,6	15,93	15,97
40	15,9	16,2	17,8	16,63	16,43
45	16,2	16,6	18,0	16,93	16,85
50	16,5	16,9	18,4	17,26	17,28
55	16,7	17,1	18,8	17,53	17,58
60	16,9	17,2	19,3	17,80	17,91

$$F/x = 10,477 + 0,161x \quad / 0 - 30/$$

$$7,471 + x^{0,214} \quad / 30 - 60/$$

7# vzorek : Teplota vytvrzování - 400⁰C

vytvrvzovací čas- 120 sekund

čas	1.měření	2.měření	3.měření	průměr	regresní hodnota
5	11,8	11,2	12,0	11,66	11,69
10	12,5	12,3	13,0	12,60	12,60
15	13,4	13,0	14,1	13,50	13,51
20	14,2	13,9	15,4	14,50	14,42
25	15,1	14,7	16,2	15,33	15,33
30	16,0	15,6	17,0	16,20	16,29
35	16,9	16,2	17,5	16,86	16,82
40	17,6	16,7	17,8	17,36	17,25
45	18,1	17,2	18,0	17,76	17,64
50	18,5	17,5	18,2	18,06	17,99
55	18,8	17,7	18,3	18,26	18,32
60	19,1	18,0	18,4	18,50	18,62

$$F/x = 10,776 + 0,182x \quad / 0 - 30 /$$

$$8,602 \cdot x^{0,189} \quad /30 - 60 /$$

60	21,4	21,4	20,4	21,06	21,15
----	------	------	------	-------	-------

$$F/x = 14,027 + 0,237x$$

$$16,638 - x^{0,0586}$$

$$/ 0 - 30 /$$

$$/ 30 - 60 /$$

Pojivo Thermoset "R" 2%

čas/sec/	1.měření	2.měření	3.měření	průměr	regresní hodnota
5	15,2	14,5	14,9	14,86	16,05
10	18,0	17,5	17,9	17,80	17,15
15	19,2	18,8	19,2	19,06	18,26
20	20,0	19,7	20,0	19,90	19,37
25	20,6	20,2	20,5	20,43	20,47
30	21,0	20,6	21,0	20,86	20,86
35	21,1	20,9	21,2	21,06	21,08
40	21,4	21,1	21,4	21,30	21,28
45	21,6	21,2	21,6	21,47	21,46
50	21,8	21,4	21,7	21,63	21,61
55	22,0	21,5	21,8	21,76	21,76
60	22,1	21,7	21,8	21,86	21,88

$$F/x = 14,95 + 0,221x$$

$$16,484 - x^{0,0692}$$

$$/ 0 - 30 /$$

$$/ 30 - 60 /$$

Směs obalovaná pro stroj Loramendi + 200g KMnO₄

čas/sec/	1.měření	2.měření	3.měření	průměr	regresní hodnota
5	11,7	12,8	11,8	12,10	11,96
10	12,5	14,5	12,9	13,30	13,48
15	13,6	16,5	14,5	14,86	14,99
20	14,9	18,5	16,5	16,63	16,51
25	16,5	20,0	18,2	18,23	18,02
30	17,8	21,0	19,4	19,40	19,54
35	19,0	21,7	20,2	20,46	20,29
40	19,9	22,2	20,9	21,00	20,79
45	20,5	22,5	21,2	21,40	21,25

50	21,2	22,8	21,4	21,76	21,66
55	21,3	23,0	21,6	21,97	22,04
60	21,7	23,1	21,7	22,16	22,39
F/x/ =	10,447 + 0,3032x		/ 0 - 30 /		
	10,55 - x ^{0,1839}		/30 + 60 /		

Pojivo Usner U 600 Al 4%

čas/sec/	1.měření	2.měření	3.měření	průměr	regresní hodnota
5	11,9	12,0	11,8	11,90	11,91
10	14,2	14,0	13,4	13,86	13,98
15	16,4	16,4	15,1	15,96	16,05
20	19,0	19,1	17,1	18,40	18,12
25	21,3	21,2	19,0	20,50	20,19
30	22,6	22,5	20,7	21,93	22,21
35	23,4	23,5	21,9	22,93	22,83
40	24,0	24,0	22,9	23,63	23,39
45	24,4	24,4	23,5	24,10	23,89
50	24,6	24,7	24,0	24,43	24,35
55	24,8	24,9	24,4	24,70	24,77
60	25,0	25,1	24,7	24,93	25,16
F/x/ =	9,841 + 0,414x		/ 0 - 30 /		
	12,036 - x ^{0,181}		/30 - 60 /		

Pojivo Usner U 600 Al 2%

čas/sec/	1.měření	2.měření	3.měření	průměr	regresní hodnota
5	11,5	11,5	11,7	11,56	11,63
10	12,8	12,7	12,9	12,80	13,00
15	14,5	14,5	14,4	14,46	14,37
20	16,4	16,0	16,0	16,13	15,74
25	17,5	17,2	17,1	17,26	17,11
30	18,3	18,1	18,0	18,13	18,29
35	18,8	18,6	18,7	18,70	18,64

40	19,1	19,0	19,1	19,06	18,94
45	19,3	19,2	19,5	19,33	19,21
50	19,4	19,4	19,7	19,50	19,46
55	19,5	19,6	19,9	19,66	19,69
60	19,6	19,7	20,0	19,76	19,90

$$F/x = 10,447 + 0,3032x \quad /0 - 30/$$

$$12,097 - x^{0,122} \quad /30 - 60/$$

Obalovaná směs pro formy + kyselina salicylová

čas/ses/	1.měření	2.měření	3.měření	průměr	regresní hodnota
5	12,4	12,5	12,2	12,36	11,88
10	14,0	14,1	13,6	13,90	14,10
15	16,0	16,2	15,4	15,86	16,31
20	18,0	19,5	17,4	18,30	18,53
25	20,5	22,7	19,6	20,93	20,74
30	22,7	25,0	21,8	23,16	23,55
35	24,4	26,7	23,3	24,80	24,72
40	25,8	27,8	24,7	26,10	25,77
45	26,9	28,8	25,5	27,13	26,74
50	27,7	29,3	26,3	27,76	27,63
55	28,2	29,9	27,0	28,37	28,47
60	28,7	30,3	27,5	28,83	29,25

$$F/x = 9,665 + 0,443x \quad /0 - 30/$$

$$8,125 - x^{0,313} \quad /30 - 60/$$

U všech pokusů byl nulový pokus s lodičkou 11,5 ml.

1/ Pojivo Fursable 79 vytvrzované při různých teplotách.

1.1/ teplota 180°C

čas/sec/	1.měření	2.měření	3.měření	průměr	regresní hodnota
5	14,0	13,3	13,3	13,53	14,67
10	17,1	16,2	15,8	16,37	15,96
15	18,0	17,4	17,3	17,57	16,77
20	18,5	18,0	18,0	18,17	17,37
25	18,8	18,3	18,3	18,47	17,85
30	19,0	18,5	18,5	18,67	18,25
35	19,1	18,7	18,7	18,83	18,60
40	19,2	18,8	18,8	18,93	18,90
45	19,2	18,9	18,9	19,00	19,17
50	19,2	19,0	18,9	19,03	19,42
55	19,2	19,0	18,9	19,03	19,65
60	19,2	19,0	18,9	19,03	19,86

$$F/x = 12,058 \cdot x^{0,122} \quad /0 - 60/$$

1.2/ teplota 200°C

čas/sec/	1.měření	2.měření	3.měření	průměr	regresní hodnota
5	13,0	12,9	12,5	12,80	13,96
10	16,0	15,6	14,7	15,43	14,89
15	17,2	16,7	16,2	16,70	15,83
20	17,5	17,2	16,9	17,33	16,76
25	18,2	17,5	17,2	17,63	17,70
30	18,5	17,8	17,4	17,90	17,92
35	18,6	17,9	17,6	18,03	18,05
40	18,7	18,0	17,7	18,13	18,18
45	18,7	18,0	17,7	18,13	18,29
50	18,7	18,0	17,7	18,13	18,39
55	18,7	18,0	17,7	18,13	18,48
60	18,7	18,0	17,7	18,13	18,57

$$F/x = 13,025 + 0,187x$$

$$15,050 \cdot x^{0,051}$$

$$/ 0 - 30 /$$

$$/ 30 - 60 /$$

1.3. Teplota 220°C

čas/sec/	1.měření	2.měření	3.měření	průměr	regresní hodnota
5	12,5	13,2	12,5	12,73	13,46
10	15,3	15,8	15,1	15,40	15,01
15	16,2	17,0	16,3	16,50	15,91
20	16,7	17,5	16,7	16,97	16,56
25	17,0	17,8	17,0	17,27	17,05
30	17,2	18,1	17,2	17,50	17,46
35	17,4	18,3	17,4	17,70	17,80
40	17,5	18,5	17,5	17,80	18,10
45	17,6	18,5	17,6	17,90	18,36
50	17,6	18,5	17,6	17,90	18,36
55	17,6	18,5	17,6	17,90	18,36
60	17,6	18,5	17,6	17,90	18,36

$$F/x = 9,880 + 2,229 \ln x$$

$$/ 0 - 60 /$$

1.4. Teplota 250°C

čas/sec/	1.měření	2.měření	3.měření	průměr	regresní hodnota
5	12,4	12,2	14,0	12,87	13,28
10	15,1	15,0	16,3	15,47	15,01
15	16,4	16,4	17,1	16,63	16,12
20	16,9	17,0	17,6	17,17	16,96
25	17,2	17,3	17,9	17,47	17,64
30	17,4	17,5	18,1	17,67	17,73
35	17,6	17,7	18,3	17,87	17,84
40	17,7	17,8	18,4	17,97	17,93
45	17,8	17,9	18,5	18,07	18,02
50	17,9	18,0	18,5	18,13	18,10
55	18,0	18,0	18,5	18,17	18,17

60	18,0	18,0	18,5	18,17	18,23
	$F/x = 10,006 \cdot x^{0,176}$		/ 0 - 30 /		
	$15,463 \cdot x^{0,0402}$		/ 30 - 60 /		

2/Pojivo Thermoperm Al vytvářované při různých teplotách.

2.1. teplota 180°C

čas/sec/	1.měření	2.měření	3.měření	průměr	regresní hodnota
5	13,0	13,2	13,2	13,13	14,52
10	16,0	16,2	17,2	16,13	15,76
15	18,1	18,2	18,7	18,33	16,99
20	19,1	18,8	19,2	19,03	18,23
25	19,5	19,1	19,5	19,37	19,46
30	19,8	19,4	19,9	19,70	19,71
35	20,0	19,6	20,1	19,90	19,91
40	20,2	19,9	20,3	20,13	20,08
45	20,1	20,0	20,5	20,20	20,24
50	20,5	20,1	20,7	20,43	20,38
55	20,6	20,3	20,8	20,57	20,50
60	20,6	20,3	20,8	20,57	20,62

$$F/x = 13,288 + 0,247x \quad / 0 - 30 /$$

$$15,816 \cdot x^{0,0648} \quad / 30 - 60 /$$

2.2. teplota 200°C

čas/sec/	1.měření	2.měření	3.měření	průměr	regresní hodnota
5	12,4	12,5	12,0	12,30	13,86
10	15,5	16,0	15,5	15,67	15,21
15	17,7	18,4	18,0	18,03	16,56
20	18,5	19,1	18,7	18,76	17,91
25	18,9	19,5	19,2	19,20	19,25
30	19,1	19,8	19,5	19,47	19,55
35	19,3	20,0	19,8	19,70	19,69
40	19,5	20,2	20,0	19,90	19,82

			20,1	20,00	19,93
45	19,6	20,3	20,3	20,10	20,03
50	19,7	20,3	20,3	20,10	20,12
55	19,7	20,3	20,3	20,10	20,20
60	19,7	20,3		/ 0 - 30 /	
				/ 30 - 60 /	
	$F/x = 12,521 + 0,269x$				
		$16,671 - x^0,046$			

2.3. teplota 220° C

čas/sec/	1.měření	2.měření	3.měření	průměr	regresní hodnota
5	14,0	14,5	14,0	14,16	15,51
10	17,5	18,5	17,5	17,83	17,19
15	19,0	19,9	19,0	19,30	18,27
20	19,8	20,5	19,5	19,93	19,06
25	20,2	20,9	20,0	20,37	19,70
30	20,5	21,2	20,2	20,63	20,24
35	20,8	21,5	20,5	20,93	20,71
40	20,9	21,7	20,7	21,10	21,12
45	21,1	21,9	20,8	21,26	21,49
50	21,2	22,1	21,0	21,46	21,83
55	21,2	22,2	21,0	21,50	22,14
60	21,2	22,3		/ 0 - 60 /	22,43
	$F/x = 12,222 + x^0,148$				

2.4. teplota 250° C

čas/sec/	1.měření	2.měření	3.měření	průměr	regresní hodnota
5	15,5	16,0	14,0	15,16	16,69
10	18,8	19,6	17,5	18,63	17,66
15	19,9	20,0	19,0	19,63	18,63
20	20,5	20,5	19,5	20,16	19,60
25	20,8	20,9	19,2	20,30	20,57
30	21,1	21,2	20,2	20,83	20,87
35	21,2	21,5	20,3	21,00	21,01
40	21,3	21,7	20,5	21,16	21,13
45	21,4	21,9	20,7	21,33	21,23

50	21,4	22,0	20,7	21,36	21,33
55	21,4	22,1	20,7	21,40	21,41
60	21,4	22,2	20,7	21,43	21,49
F/x/ =	15,729 + 0,193x		/ 0 - 30 /		
	18,086 - x ^{0,042}		/30 - 60 /		

2.5. teplota 300⁰C

čas/sec/	1.měření	2.měření	3.měření	průměr	regresní hodnota
5	13,0	12,8	12,8	12,87	14,47
10	16,7	16,5	16,2	16,47	15,64
15	18,1	17,9	17,7	17,90	16,77
20	18,7	18,5	18,5	18,57	17,92
25	19,1	18,9	18,9	19,97	19,07
30	19,5	19,2	19,2	19,30	19,33
35	19,8	19,4	19,4	19,53	19,53
40	20,0	19,6	19,6	19,73	19,72
45	20,1	19,9	19,8	19,93	19,88
50	20,2	20,0	20,0	20,07	20,03
55	20,3	20,1	20,1	20,16	20,16
60	20,3	20,2	20,2	20,23	20,28
F/x/ =	13,315 + 0,2304x		/ 0 - 30 /		
	15,243 - x ^{0,0698}		/30 - 60 /		

3/ Pojivo Thermoset "R" vytvrzováno při různých teplotách.

3.1. teplota 180⁰C

čas/sec/	1.měření	2.měření	3.měření	průměr	regresní hodnota
- 5	12,5	13,0	13,0	12,83	13,94
10	15,1	15,5	16,0	15,53	14,98
15	16,5	16,8	17,1	16,80	16,01
20	17,3	17,6	17,8	17,57	17,05
25	17,8	18,1	18,3	18,07	18,08
30	18,1	18,5	18,6	18,40	18,40

35	18,3	18,7	18,8	18,60	18,61
40	18,4	19,0	19,1	18,83	18,79
45	18,5	19,2	19,2	18,97	18,96
50	18,6	19,3	19,3	19,07	19,10
55	18,7	19,5	19,5	19,23	19,23
60	18,8	19,6	19,6	19,36	19,35

$$F/x = 12,909 + 0,2071x \quad /0 - 30/ \\ 14,388 - x^{0,0724} \quad /30 - 60/$$

3.2. teplota 200°C

čas/sec/	1.měření	2.měření	3.měření	průměr	regresní hodnota
5	12,9	13,0	13,9	13,26	14,47
10	15,6	15,8	17,0	16,13	15,65
15	17,3	17,6	18,5	17,80	16,83
20	18,2	18,6	19,2	18,67	18,01
25	18,7	19,2	19,6	19,17	19,18
30	19,0	19,6	19,9	19,50	19,56
35	19,3	20,0	20,2	19,83	19,78
40	19,5	20,2	20,4	20,03	19,97
45	19,6	20,3	20,5	20,13	20,14
50	19,7	20,5	20,7	20,30	20,30
55	19,8	20,6	20,9	20,43	20,44
60	20,0	20,7	21,0	20,56	20,57

$$F/x = 13,303 + 0,235x \quad /0 - 30/ \\ 15,271 - x^{0,0728} \quad /30 - 60/$$

3.3. teplota 220°C

čas/ssc/	1.měření	2.měření	3.měření	průměr	regresní hodnota
5	13,0	16,0	13,6	13,30	14,36
10	15,3	18,5	16,4	15,85	15,37
15	16,8	20,0	17,6	17,20	16,37
20	17,8	21,0	18,1	17,85	17,38

25	18,3	21,5	18,5	18,40	18,39
30	18,6	21,9	18,8	18,70	18,74
35	18,9	22,3	19,0	18,95	18,94
40	19,1	22,5	19,2	19,15	19,10
45	19,3	22,7	19,3	19,30	19,25
50	19,4	23,0	19,4	19,40	19,39
55	19,5	23,2	19,5	19,50	19,51
60	19,6	23,5	19,6	19,60	19,63

$$F/x = 13,353 + 0,2017x \quad /0 - 30/$$

$$14,949 + x^{0,0665} \quad /30 - 60/$$

U druhého měření došlo k porušení těsnosti zařízení, a proto je průměr vypočítán z prvého a třetího měření.

3.4. teplota 250°C

čas/sec	1.měření	2.měření	3.měření	průměr	regresní hodnota
5	12,2	12,2	12,2	12,20	13,16
10	14,7	14,5	14,6	14,50	14,31
15	16,5	16,2	16,4	16,37	15,47
20	17,5	17,2	17,3	17,33	16,63
25	18,0	17,7	17,7	17,80	17,79
30	18,2	18,1	18,1	18,13	18,24
35	18,5	18,4	18,5	18,53	18,45
40	18,7	18,6	18,7	18,67	18,63
45	18,9	18,8	18,9	18,87	18,79
50	19,0	18,9	19,0	18,97	18,94
55	19,1	19,0	19,1	19,03	19,07
60	19,1	19,1	19,2	19,13	19,19

$$F/x = 12,004 + 0,231x \quad /0 - 30/$$

$$14,221 + x^{0,732} \quad /30 - 60/$$

3.5. teplota 300°C

čas/sec	1.měření	2.měření	3.měření	průměr	regresní hodnota
---------	----------	----------	----------	--------	------------------

5	11,8	12,0	11,5	11,77	12,86
10	14,4	14,5	14,5	14,47	13,99
15	15,7	16,0	16,2	15,97	15,13
20	16,6	17,0	16,9	16,83	16,26
25	17,0	17,7	17,4	17,37	17,40
30	17,5	18,2	17,7	17,80	17,84
35	17,7	18,5	18,0	18,08	18,06
40	17,9	18,7	18,2	18,27	18,26
45	18,0	19,0	18,4	18,47	18,43
50	18,2	19,1	18,6	18,63	18,59
55	18,3	19,2	18,7	18,73	18,73
60	18,4	19,3	18,8	18,80	18,86

$$F/x = 11,730 + 0,2269x \quad / 0 - 30/$$

$$13,590 - x^{0,080} \quad / 30 - 60/$$

4/Pojivo Corephenit 1,8% bylo vytvářováno při různých teplotách

4.1. teplota 180°C

čas/sec/	1.měření	2.měření	3.měření	průměr	regresní hodnota
5	11,2	11,1	11,1	11,13	11,16
10	11,8	11,9	11,8	11,83	11,83
15	12,5	12,5	12,5	12,50	12,49
20	13,2	13,2	13,3	13,23	13,16
25	13,8	13,9	13,9	13,87	13,83
30	14,3	14,5	14,5	14,43	14,49
35	14,9	15,2	15,0	15,03	14,97
40	15,3	15,6	15,4	15,43	15,31
45	15,6	15,9	15,7	15,73	15,61
50	15,8	16,2	15,9	15,97	15,89
55	16,0	16,4	16,0	16,13	16,15
60	16,1	16,5	16,1	16,23	16,39

$$F/x = 10,496 + 0,133x \quad / 0 - 30/$$

$$F/x = 8,244 \cdot x^{0,1678} \quad / 30 - 60/$$

4.2. teplota 200°C

čas/ssc/ 1.měření	2.měření	3.měření	průměr	regresní hodnota
5	11,2	11,1	11,0	11,10
10	12,0	11,9	11,8	11,90
15	12,8	12,5	12,5	12,59
20	13,5	13,3	13,3	13,30
25	14,2	13,9	14,0	14,03
30	14,9	14,5	14,7	14,74
35	15,4	15,0	15,3	15,19
40	15,8	15,3	15,7	15,53
45	16,1	15,6	16,1	15,83
50	16,4	15,8	16,3	16,12
55	16,5	16,0	16,6	16,37
60	16,6	16,2	16,7	16,61

$$F/x = 10,434 + 0,143x \quad / 0 - 30/$$

$$8,408 \cdot x^{0,166} \quad / 30 - 60/$$

4.3. teplota 220°C

čas/sec/ 1.měření	2.měření	3.měření	průměr	regresní hodnota
5	11,0	11,0	11,0	10,97
10	11,7	11,7	11,7	11,71
15	12,5	12,4	12,4	12,46
20	13,1	13,3	13,3	13,20
25	13,8	14,0	14,0	13,94
30	14,6	14,8	14,7	14,68
35	15,1	15,3	15,2	15,16
40	15,6	15,7	15,5	15,49
45	16,0	15,9	15,9	15,79
50	16,2	16,1	16,0	16,06
55	16,4	16,3	16,2	16,30

60	16,5	16,4	16,3	16,40	16,53
----	------	------	------	-------	-------

$$F/x = 10,232 + 0,148x \quad /0 - 30/$$

$$8,584 - x^{0,160} \quad /30 - 60/$$

4.4. Teplota 250°C

čas/sec/	1.měření	2.měření	3.měření	průměr	regresní hodnota
5	11,0	10,6	10,6	10,73	10,73
10	11,6	11,2	11,4	11,40	11,44
15	12,4	11,8	12,0	12,07	12,08
20	13,2	12,4	12,8	12,80	12,76
25	14,0	12,9	13,5	13,47	13,43
30	14,6	13,5	14,2	14,07	14,11
35	15,2	14,0	14,8	14,67	14,61
40	15,6	14,3	15,2	15,03	14,97
45	16,0	14,7	15,6	15,43	15,30
50	16,2	14,9	15,8	15,63	15,59
55	16,4	15,2	16,0	15,86	15,87
60	16,5	15,3	16,2	16,00	16,13

$$F/x = 10,059 + 0,135x \quad /0 - 30/$$

$$7,604 - x^{0,183} \quad /30 - 60/$$

4.5. Teplota 300°C

čas/sec/	1.měření	2.měření	3.měření	průměr	regresní hodnota
5	11,0	11,0	11,0	11,00	11,00
10	11,7	11,7	11,6	11,67	11,68
15	12,3	12,3	12,5	12,37	12,37
20	13,0	13,1	13,2	13,10	13,06
25	13,7	13,7	14,0	13,80	13,75
30	14,3	14,3	14,6	14,40	14,44
35	14,7	14,8	15,2	14,90	14,85
40	15,0	15,2	15,6	15,27	15,14
45	15,2	15,4	15,8	15,47	15,40

50	15,4	15,6	16,0	15,67	15,63
55	15,6	15,7	16,2	15,83	15,84
60	15,7	15,8	16,3	15,93	16,04
F/x =	10,311 + 0,1378x		/ 0 - 30/		
	8,9436 - x ^{0,142}		/30 - 60/		

4.6. Teplota 350°C

čas/sec	1.měření	2.měření	3.měření	průměr	regresní hodnota
5	11,7	11,0	11,0	11,23	11,50
10	12,4	11,5	11,4	12,43	12,22
15	13,2	12,0	11,9	13,03	12,93
20	14,1	12,6	12,3	13,67	13,64
25	14,8	13,2	12,7	14,56	14,35
30	15,3	13,9	13,2	14,80	14,80
35	16,0	14,4	13,7	15,37	15,28
40	16,4	14,8	14,1	15,76	15,71
45	16,7	15,2	14,4	15,86	16,10
50	17,0	15,5	14,7	16,40	16,46
55	17,2	15,7	15,0	16,97	16,76
60	17,3	15,9	15,1	17,10	17,09
F/x =	10,79 + 0,142x		/ 0 - 30/		
	7,289 - x ^{0,208}		/30 - 60/		

4.7. Teplota 400°C

čas/sec	1.měření	2.měření	3.měření	průměr	regresní hodnota
5	10,9	10,3	10,5	10,56	10,51
10	11,3	11,0	11,1	11,13	11,15
15	12,0	11,5	11,7	11,73	11,78
20	12,8	12,2	12,3	12,43	12,41
25	13,5	12,8	12,9	13,06	13,05
30	14,2	13,4	13,5	13,70	13,68
35	14,8	13,8	14,1	14,23	14,19

40	15,2	14,3	14,4	14,63	14,53
45	15,5	14,6	14,7	14,93	14,84
50	15,7	14,8	15,0	15,16	15,12
55	15,9	15,0	15,1	15,33	15,37
60	16,1	15,2	15,3	15,53	15,61

$$F/x = 9,882 + 0,1268x \quad /0 - 30/$$

$$7,563 + x^{0,177} \quad /30 - 60/$$

5/ Pojivo Usner u 600 Al bylo vytvářováno při různých teplotách.

5.1. Teplota 200°C

čas/sec	1.měření	2.měření	3.měření	průměr	regresní hodnota
5	11,8	12,0	12,2	12,00	11,85
10	13,1	13,4	13,5	13,33	13,39
15	14,4	14,8	14,9	14,70	14,93
20	16,0	16,8	16,8	16,53	16,48
25	18,0	18,3	18,2	18,17	18,02
30	19,4	19,9	19,3	19,53	19,56
35	20,5	20,6	20,2	20,43	20,38
40	21,1	21,5	20,8	21,13	20,98
45	21,6	22,0	21,4	21,67	21,52
50	22,0	22,4	21,9	22,10	22,02
55	22,4	22,7	22,2	22,43	22,48
60	22,6	23,0	22,6	22,73	22,91

$$F/x = 10,31 + 0,3086x \quad /0 - 30/$$

$$9,427 + x^{0,216} \quad /30 - 60/$$

5.2. Teplota 220°C

čas/sec	1.měření	2.měření	3.měření	průměr	regresní hodnota
5	12,0	11,9	12,0	11,97	11,84
10	13,1	13,2	13,4	13,23	13,25
15	14,1	14,5	14,8	14,47	14,66
20	15,1	16,4	16,6	16,03	16,07

25	16,4	18,0	18,4	17,60	17,48
30	17,5	19,5	19,7	18,90	18,88
35	18,4	20,5	20,8	19,90	19,85
40	19,1	21,4	21,6	20,70	20,48
45	19,7	21,9	22,2	21,27	21,05
50	20,1	22,3	22,6	21,67	21,58
55	20,4	22,6	22,9	21,97	22,06
60	20,8	22,9	23,2	22,30	22,52

$$F/x = 10,435 + 0,281x \quad /0 - 30/$$

$$8,624 \cdot x^{0,234} \quad /30 - 60/$$

5.3. Teplota 250°C

čas/sec	1.měření	2.měření	3.měření	průměr	regresní hodnota
5	11,6	11,3	11,8	11,57	11,51
10	13,0	12,3	13,3	12,86	12,86
15	14,4	13,3	14,6	14,10	14,20
20	15,8	14,5	16,4	15,56	15,55
25	17,3	15,6	17,9	16,93	16,90
30	18,8	16,8	19,2	18,27	18,25
35	19,8	17,8	20,2	19,26	19,17
40	20,1	18,6	20,8	19,83	19,84
45	21,2	19,2	21,5	20,63	20,44
50	21,7	19,8	22,0	21,16	21,01
55	22,0	20,2	22,3	21,50	21,53
60	22,3	20,5	22,6	21,80	22,01

$$F/x = 10,164 + 0,269x \quad /0 - 30/$$

$$7,695 \cdot x^{0,256} \quad /30 - 60/$$

5.4. Teplota 300°C

čas/sec	1.měření	2.měření	3.měření	průměr	regresní hodnota
5	11,3	11,5	11,6	11,47	11,28
10	12,5	12,5	12,8	12,60	12,76

15	13,5	14,2	14,5	14,06	14,23
20	15,0	16,0	16,3	15,77	15,71
25	16,5	17,4	18,1	17,33	17,19
30	17,7	18,8	19,4	18,63	18,66
35	18,8	19,7	20,5	19,67	19,60
40	19,6	20,5	21,4	20,50	20,23
45	20,2	21,0	21,8	21,00	20,81
50	20,7	21,4	22,1	21,40	21,33
55	21,1	21,7	22,6	21,70	21,82
60	21,4	22,0	22,9	22,10	22,28

$$F/x = 9,806 + 0,295x \quad / 0 - 30/$$

$$8,405 \cdot x^{0,2381} \quad /30 - 60/$$

5.5. Teplota 350° C

čas/sec/ 1.měření	2.měření	3.měření	průměr	regresní hodnota
5	11,5	11,7	11,7	11,63
10	12,5	12,7	12,6	12,77
15	13,8	14,2	13,7	14,13
20	15,6	16,0	15,2	15,48
25	17,0	17,5	17,3	16,85
30	18,2	18,8	17,6	18,20
35	19,2	19,7	18,5	19,08
40	20,0	20,4	19,3	19,90
45	20,4	21,0	19,7	20,37
50	20,8	21,3	20,2	20,68
55	21,0	21,6	20,6	21,13
60	21,2	21,9	20,9	21,55

$$F/x = 10,056 + 0,272x \quad / 0 - 30/$$

$$8,559 \cdot x^{0,225} \quad /30 - 60/$$

5.6. Teplota 400° C

čas/sec/	1.měření	2.měření	3.měření	průměr	regresní hodnota
5	11,7	11,9	11,7	11,83	11,53
10	12,5	12,7	12,5	12,63	12,74
15	13,8	13,9	13,4	13,70	14,01
20	15,5	15,7	14,5	15,23	15,25
25	17,0	17,0	15,8	16,60	16,49
30	18,2	18,3	17,0	17,83	17,73
35	19,3	19,4	18,0	18,90	18,80
40	20,0	20,2	18,8	19,67	19,46
45	20,1	20,9	19,5	20,17	20,06
50	20,8	21,3	20,0	20,70	20,61
55	21,1	21,8	20,4	21,10	21,12
60	21,3	22,1	20,7	21,37	21,60
F/x/ =	10,293 + 0,248x		/ 0 - 30 /		
	7,526 - x ^{0,257}		/30 - 60 /		

U všech pokusů byl nulový pokus s lodičkou 10,0 ml.

Ztráty žiháním.

Navážka o hmotnosti 1g se zahřává na teplotě 1000°C po dobu dvou hodin. Vzorek se zváží před a po žihání.

1/ Spodní plášt hlavy válců.	$z = 1,56 \%$
2/ Vrchní plášt hlavy válců.	$z = 1,58 \%$
3/ Základové jádro hlavy válců.	$z = 1,81 \%$
4/ Svíčkové jádro.	$z = 1,64 \%$
5/ Kolinková jádra.	$z = 2,83 \%$
6/ Žebříčkové jádro hlavy válců.	$z = 1,47 \%$
7/ Kolínko ssaci trubky pro Al odlitky.	$z = 1,22 \%$
8/ Jádro levého diferenciálu.	$z = 2,48 \%$
9/ Jádro vložky válců.	$z = 2,47 \%$
10/ Jádro náboje kola.	$z = 2,68 \%$
11/ Jádro třmenu diskové brzdy.	$z = 3,322\%$
12/ Jádro výfukové trubky.	$z = 3,01 \%$
13/ Thermopherm Al 2%	$z = 1,54 \%$
14/ Thermoset "R" 2%	$z = 1,94 \%$
15/ Fursable 79 TH B 2%	$z = 1,67 \%$
16/ Usner U 600 Al 2%	$z = 1,57 \%$
17/ Usner U 600 Al 4%	$z = 2,87 \%$
18/ Obalovaná směs s kyselinou salicylovou.	$z = 4,77 \%$
19/ Obalovaná směs s KMnO_4	$z = 2,41 \%$
Corephenit 2% : $250^{\circ}\text{C}/60$ sec.	$z = 1,37 \%$
$300^{\circ}\text{C}/60$ sec.	$z = 1,43 \%$
$330^{\circ}\text{C}/60$ sec.	$z = 1,31 \%$
$350^{\circ}\text{C}/60$ sec.	$z = 1,37 \%$
$400^{\circ}\text{C}/60$ sec.	$z = 1,35 \%$
$400^{\circ}\text{C}/70$ sec.	$z = 1,27 \%$
$400^{\circ}\text{C}/120$ sec.	$z = 1,24 \%$

Fursable 79 TH B 2% :	180°C	z= 1,23 %
	200°C	z= 1,24 %
	220°C	z= 1,24 %
	250°C	z= 1,15 %

300°C rozpad vzorku

350°C rozpad vzorku

400°C rozpad vzorku

Thermopherm AL 2%	: 180°C	z= 1,58 %
	200°C	z= 1,46 %
	220°C	z= 1,40 %
	250°C	z= 1,46 %
	300°C	z= 1,36 %

350°C rozpad vzorku

400°C rozpad vzorku

Thermoset "R" 2%	: 180°C	z= 1,56 %
	200°C	z= 1,54 %
	220°C	z= 1,54 %
	250°C	z= 1,44 %
	300°C	z= 1,35 %

350°C rozpad vzorku

400°C rozpad vzorku

Corephenit HB Z 1,8%:	180°C	z= 1,41 %
	200°C	z= 1,25 %
	220°C	z= 1,30 %
	250°C	z= 1,34 %
	300°C	z= 1,30 %
	350°C	z= 1,34 %

400⁰C

z= 1,29 %

Rustol U 600 Al 4% : 180⁰C neutvrzeno

200⁰C

z= 2,68 %

220⁰C

z= 2,73 %

250⁰C

z= 2,67 %

300⁰C

z= 2,82 %

350⁰C

z= 2,39 %

400⁰C

z= 2,71 %

9.1. Diskuze k naměřeným hodnotám

Úkolem této práce bylo porovnání směsi z výroby v AZNP Mladá Boleslav a zahraničních směsí z hlediska plynnotvornosti. Za tímto účelem byly získány hodnoty objemu plynů v časových intervalech a ztáty žiháním z každého vzorku. Metoda měření plynnotvornosti má dostačující přesnost pro porovnávání jednotlivých vzorků.

Vzorky byly rozděleny do dvou skupin. První tvořily vzorky z výroby vyráběné metodou Crowning a Hot-Box. U metod Hot-Box se přidává do některých směsí Fepren. Z naměřených výsledků lze říci, že metoda Hot-Box má při odlévání menší vývin plynů než metoda Crowning. Přidáním Fepronu do metody Hot-Box má za následek podržení plynů při vytvrzování a jejich vývin až při odlévání. Výsledkem jsou zlepšené hygienické podmínky obsluhy vytvrzovacích strojů. Také byly zkoušeny další metody jak odstranit plyna z obalovaných směsí, a sice přidáním kyseliny salicylové a $KMnO_4$. Obě tyto směsi vykazovaly velkou plynnotvornost.

Pro porovnání zahraničních vzorků byl vybrán vzorek ze směsi Corephenit HB z 2% pojiva, tak jak je připravován pro provozní účely a byla u něj zjištována plynnotvornost za následujících podmínek vytvrzování: $250^\circ C / 60\text{ sec.}$, $300^\circ C / 60\text{ sec.}$, $330^\circ C / 60\text{ sec.}$, $350^\circ C / 60\text{ sec.}$, $400^\circ C / 60\text{ sec.}$, $400^\circ C / 70\text{ sec.}$ a $400^\circ C / 120\text{ sec.}$.

Ze zahraničních pojiv byla porovnávána pojiva Fursable 79 TH B, Thermopherm Al, Thermoset "R", Usner U 600 AL, Corephenit HB z 1,8%.

Pojivo Fursable bylo vytvrzováno po dobu 60 sec. a za teplot $180^\circ C$, $200^\circ C$, $220^\circ C$, a $250^\circ C$. Vzorky za teplot $300^\circ C$, $350^\circ C$, $400^\circ C$ se nepodařilo zkoumat, nebože po vytvrzení rozpadly.

Pojivo Fursable má o proti Corephenitu menší objem vyvijených plynů a nižší vytvrzovací teploty.

Pojivo Thermopherm Al bylo vytvrzeno po dobu 60 sec.a při teplotách 180°C , 200°C , 220°C , 250°C a 300°C . Vzorky o vyšší teplotě se po vytvrzení rozpadly. Pojivo Thermopherm Al má o něco větší plynnotvornost než Corephenit HB Z 2%.

Pojivo Thermoset "R" bylo vytvrzováno po dobu 60 sec.a při teplotách 180°C , 200°C , 220°C , 250°C a 300°C . Další vzorky při vyšších teplotách se již rozpadly, a proto s nimi nebyly zkoušky prováděny. Pojivo Thermoset "R" má přibližně stejnou plynnotvornost jako Corephenit HB Z 2% a menší než Thermopherm.

Pojivo Usner U 600 Al bylo namicháno podle firemního předpisu se dvěma procenty pojiva. Pevnost v ohybu po vytvrzení nedostačovala však potřebám AZNP, a proto byl připraven vzorek se čtyřmi procenty pojiva, který pevnostně odpovidal. Z něho byly vyvrtzeny vzorky po dobu 60 sec.a teplotách 200°C , 220°C , 250°C , 350°C a 400°C . Vzorek o 180°C nebylo možno utvrdit. Plynnotvornost pojiva Usner je menší než u Fernalu 1170.

Dalším vzorkem bylo pojivo Corephenit HB Z o obsahu 1,8% pojiva, t.j. snížené množství pojiva a plynů při využívajících pevnostech jádra. Vzorky takto připravené měly snížený vývin plynů.

Z těchto výsledků vyplývá, že pro slévárnu v Mladé Boleslavě by měla význam pojiva Fursable, Usner a Corephenit 1,8% ovšem za předpokladu, že by využovala pevnostním podmínkám. Z hlediska vývinu plynů jde u nich o menší objem, což přináší výhody z hlediska kvality odlitrků a z hlediska hygieny práce obsluhy vytváracích strojů.

2.2.2. Závěr

Hodnoty obdržené z daného přístroje vyzkouší určitý rozptyl pro jednotlivá měření a proto lze k výsledkům přistupovat s jistou dávkou tolerance vzhledem k dříve popsáným vlivům a nedostatkům. Při použití přístroje PGD + GF + by byl rozptyl

jednotlivých měření daleko menší. Nevýhodou ovšem je velká pořizovací cena, přístroj se dováží ze Švýcarska a dlouhý čas potřebný pro měření. Výhodami jsou vysoká přesnost a snadná obsluha.

Při zjišťování plynотvornosti nových směsi bylo zjištěno, že lepší vlastnosti mají pojiva Fursable 79 TH B, Usner U 600 Al, Corephenit HB z 1,8%, která vykazují menší množství plynu. Tím by se mohlo dosáhnout lepší kvality odlitků a zlepšení hygienických podmínek obsluhy.

V současné době je světový trend ústupu od obalovaných směsí k Hot-Box a Cold-Box, které jsou energeticky méně náročné. Ve slévárně AZNP je 80 % zařízení pro metodu Hot-Box. S ohledem na technické vlastnosti bude zařazeno pojivo Fursable 79 TH B ve třetím čtvrtletí 1986 do výroby. S ohledem na další technické vlastnosti a rozvoj se počítá v roce 1987 s přechodem na pojivo Thermoset "R". V souladu se světovým trendem AZNP objednalo zadání ve VÚS Brno řešení úkolu pojiv Cold-Box. Realizace má probíhat ve dvou etapách. V prvé budou do výroby zavedena zahraniční pojiva a v druhé se přejde na pojivá vyráběná z domácích surovin.

SEZNAM GRAFIČKÝCH PŘÍLOH

Jádra vyráběná metodou Hot-Box	graf č, 1
Jádra vyráběná metodou Hot-Box plněna Feprenem	graf č. 2
Jádra vyráběná metodou Crowning plněna Feprenem	graf č. 3
Vzorky ze zahraničních pojiv	graf č. 4
Corephenit HB Z 2%	graf č. 5
Fursable 79 TH B	graf č. 6
Thermopherm AL	graf č. 7
Usner U 600 AL 4%	graf č. 8
Thermoset "R"	graf č. 9
Corephenit HB Z 1,8%	graf č. 10

SEZNAM FOTOGRAFICKÝCH PŘÍLOH

Fotografie jader z výroby

1 — 6

Seznam použité literatury

- /1/ VETIŠKA, A. a kol. : Teoretické základy slévárenství
technologie SNTL Praha, 2. vydání
1974
- /2/ PÍŠEK, F. : Nauka o materiálu 1. Academia,
JENÍČEK, L. Praha, 1966
RYŠ, P.
- /3/ PÍŠEK, F. : Slévárenství 1., SNTL Praha, 1974
PLEŠINGER, J.
- /4/ RUSTIN, K. : Disperzní formovací materiály,
skripta VUT Brno, 1. vydání, 1973
- /5/ MEDVEDĚV, J. J. : Gazy v Litejnoj forme, 1. vydání
Moskva 1965
- /6/ BERG, P. P. : Chimism tverděnija žitkostěkolnych
směsej, lit. proizvodstvo, č. 2,
str. 17 - 19, 1967
- /7/ PROCHÁZKA, K. : Hodnocení plynatosti formovacích a
 jádrových směsí používaných ve slé-
 várni LIAZ Liberec, DP-KMM-013, 1981
 VŠST Liberec
- /8/ PAVLU, K. : Hodnocení plynnotvornosti jádrových
 směsí používaných ve slévárně Liaz
 Liberec, DP-KMM-085, 1983,
 VŠST Liberec
- /9/ HOLUBEC, Z. : Fyzikální chemie metalurgických
 KALOUSEK, J. procesů, skripta VŠST Liberec,
 KALOUSKOVÁ, G. 1. vydání, 1982
- /10/ Časopis : Slévárenská ročenka, 1986

m děkuji za odborné vedení konzultace vedoucí mé práce RNDr. Janě Kuháňkové a konzultantovi s. Vlastimilu Vlachovi za důkladné seznámení s postupem výroby, umožněním měření v AZNP Mladá Boleslav a za pomoc při výrobě vzorků pro daná měření. Dále děkuji pracovníkům grafické laboratoře v AZNP Mladá Boleslav za pomoc při výrobě vzorků pro daná měření. Dále děkuji pracovníkům KMM, kteří mi byli nápomocni při zpracování diplomové práce.

v Liberci dne 23. května 1986

Janicek

objem
[ml]

18

17

16

15

14

13

12

11

10

10/ Corephenit HB Z 1,8 %

350 °C
200 °C 220 °C
180 °C 250 °C
300 °C
400 °C

60 [sec] čas

55

50

45

40

35

30

25

20

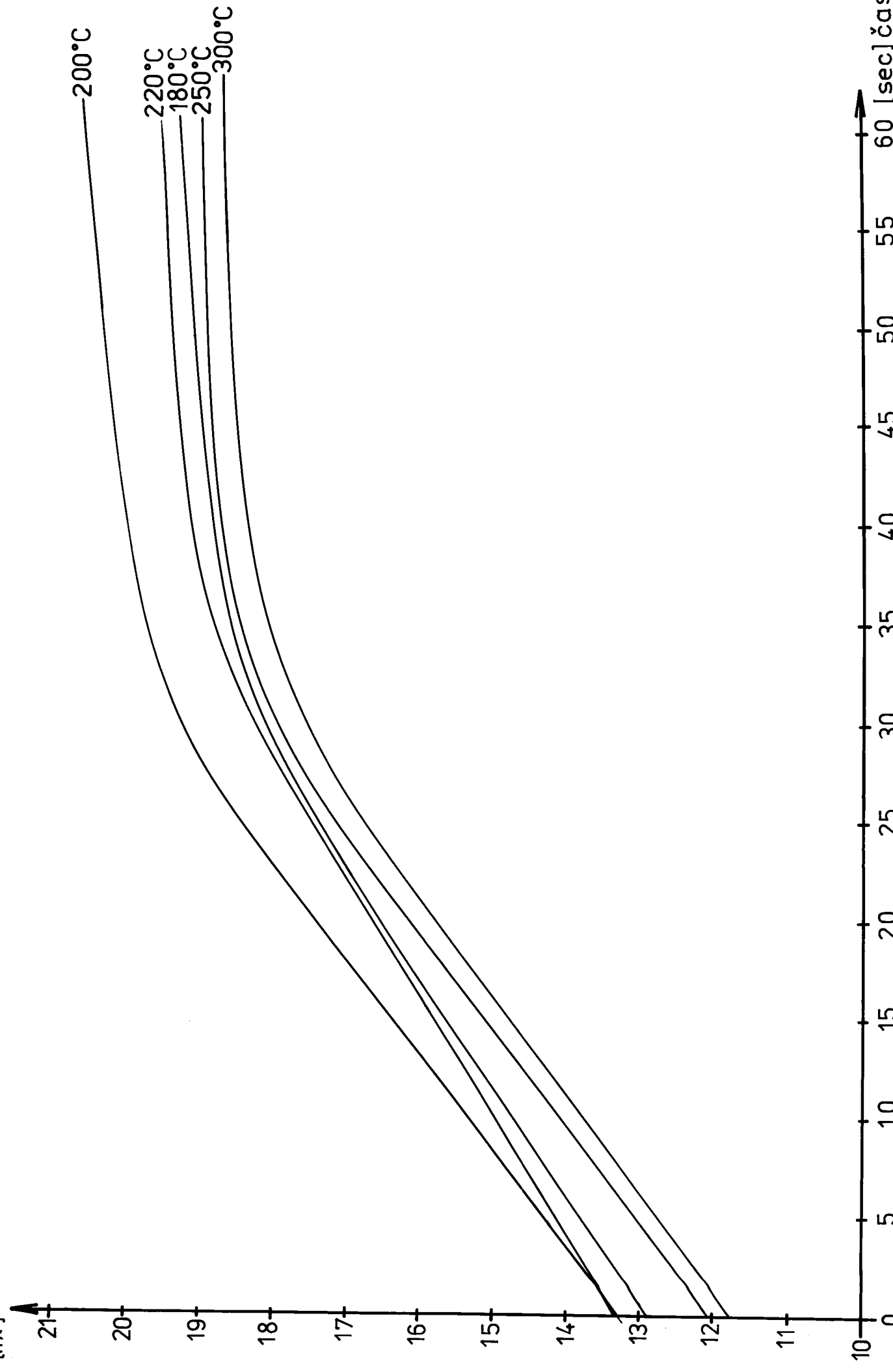
15

10

5

objem
[ml]

9/ Thermoset "R"



8/ Usner U 600 AL 4 %

objem
[ml]

24

23

22

21

20

19

18

17

16

15

14

13

12

11

10

200 °C
220 °C
250 °C
300 °C
400 °C
350 °C

60
55
50
45
40
35
30
25
20
15
10
5
0 [sec] čas

71 Thermoperm AL

objem
[ml]

24

23

22

21

20

19

18

17

16

15

14

13

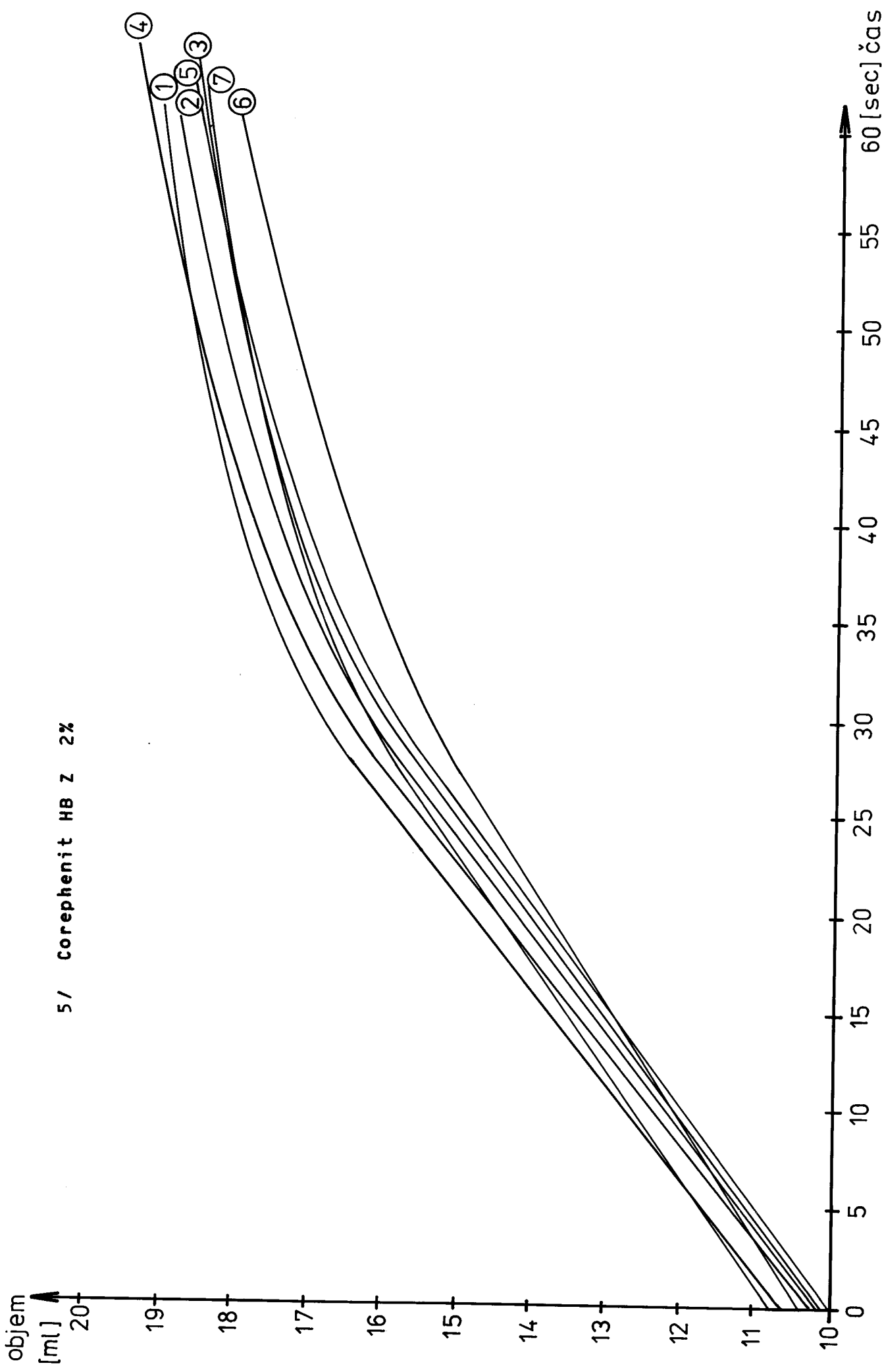
12

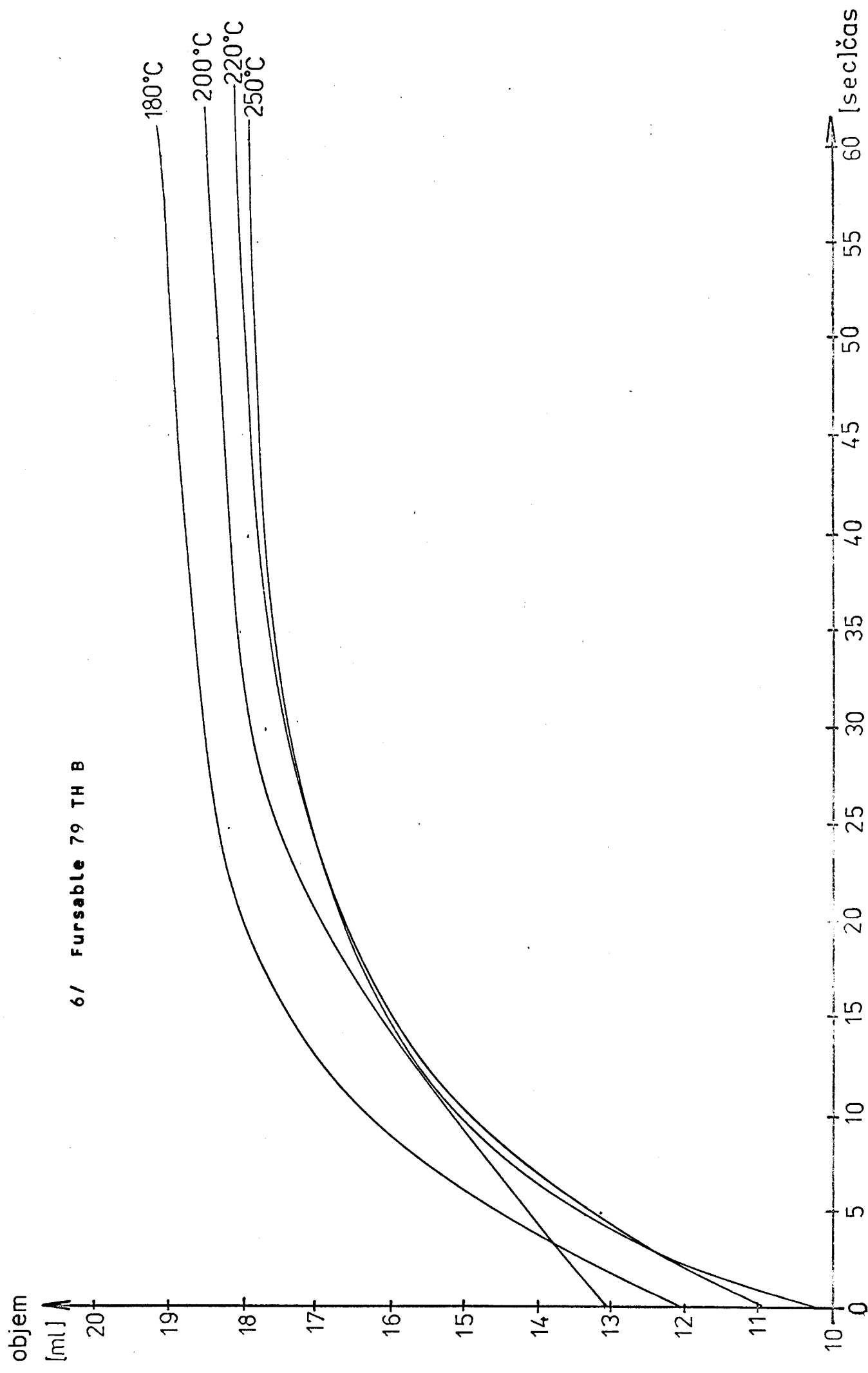
11

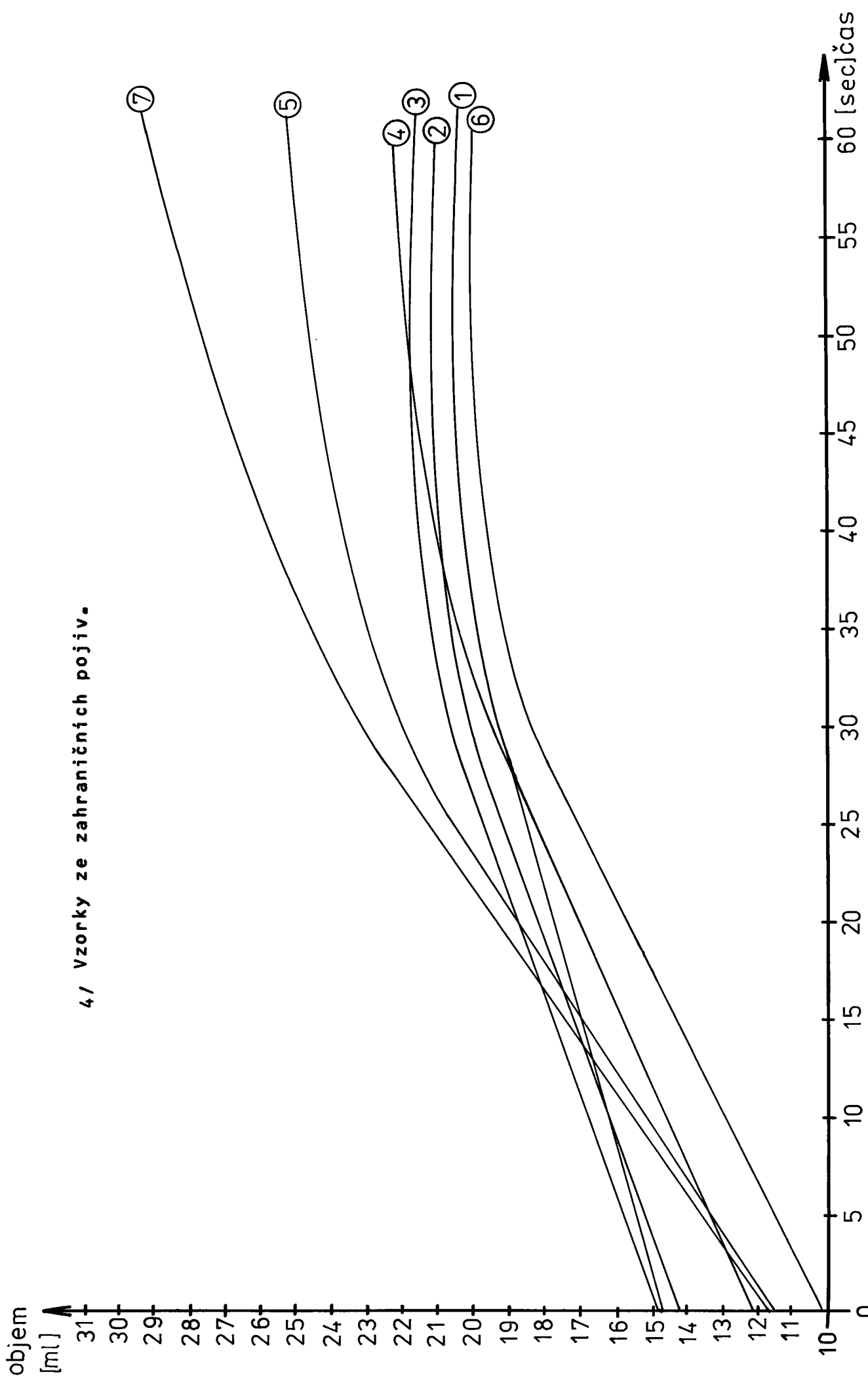
10

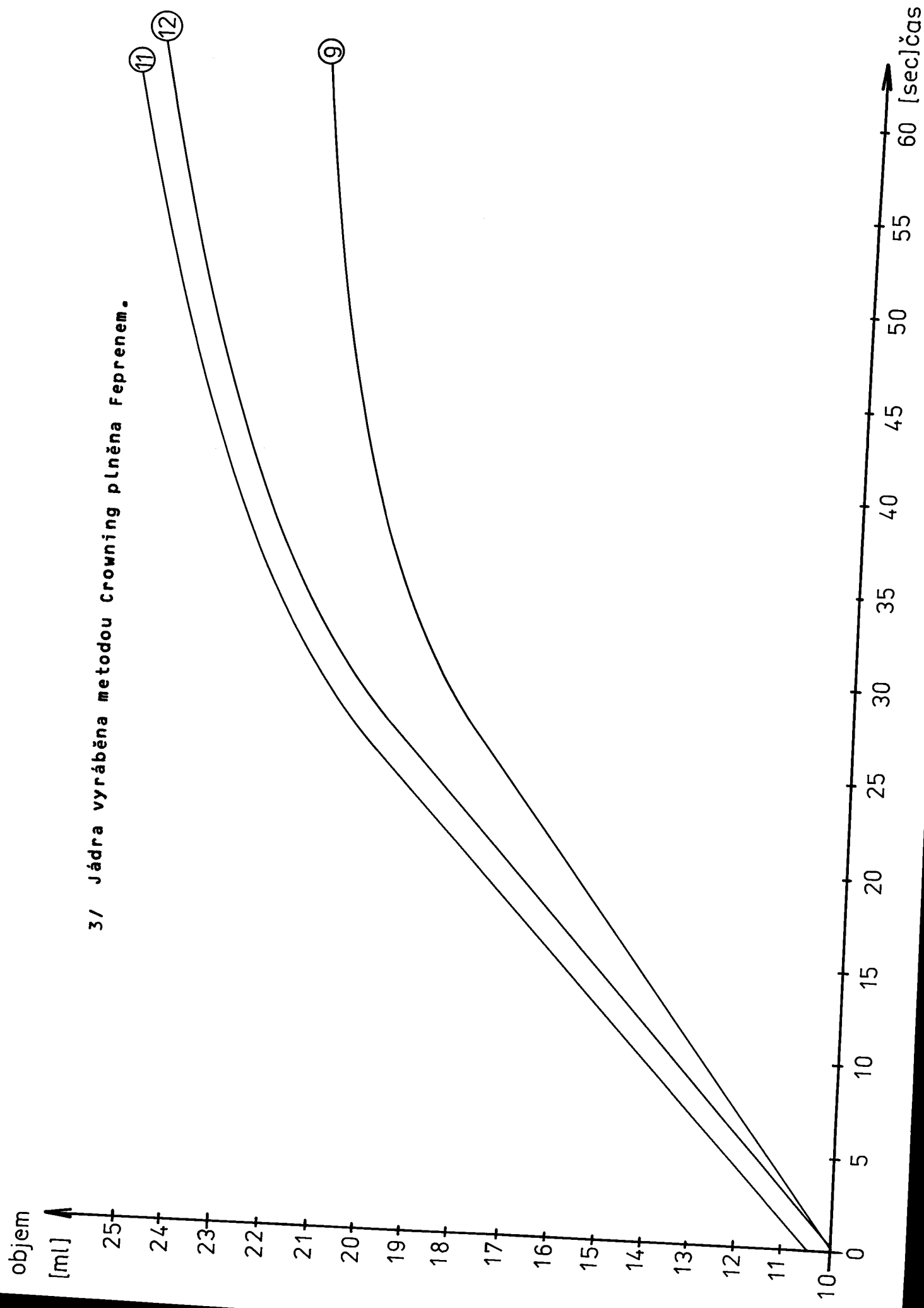
220°C
250°C
180°C, 300°C
200°C

60 [sec] čas









-t-

objem

[ml]

24
23
22
21
20
19
18
17
16
15
14
13
12
11
10

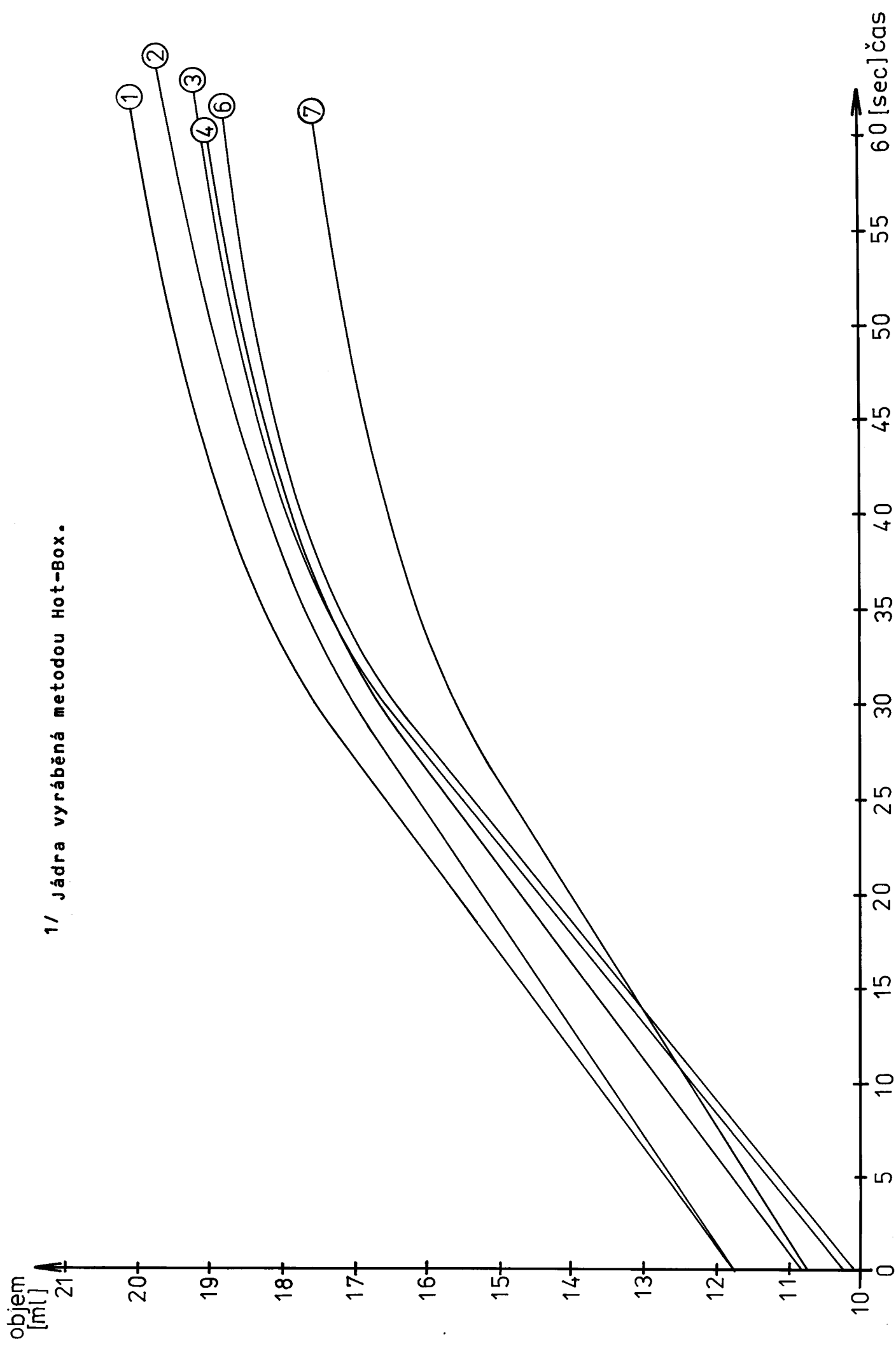
2 / jádra vyráběná metodou Hot-Box plněna Feprenem.

⑤
⑧
⑩

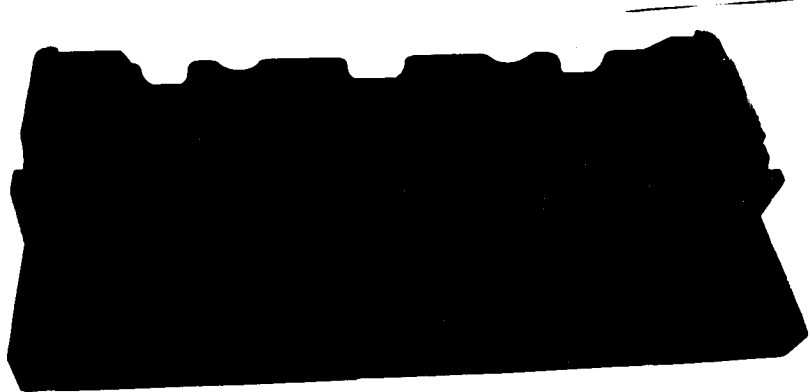
60 [sec] čas

-t-

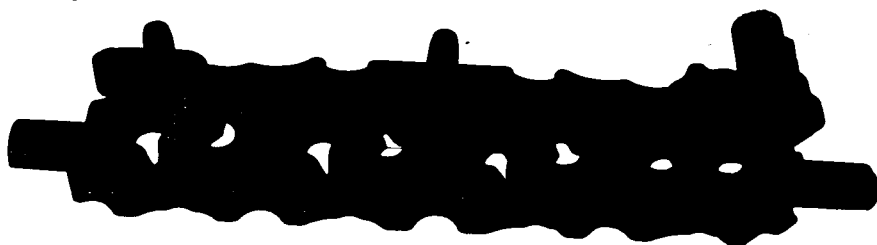
1/ Jádra vyráběná metodou Hot-Box.



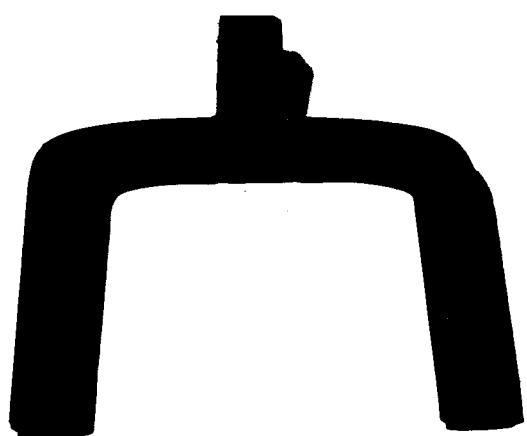
Jádra z výroby z nichž byly brány vzorky pro zkoušku množství
plynů v jednotlivých jádrech.



Jádro spodního pláště pro hlavu válců.



Jádro vrchního pláště.



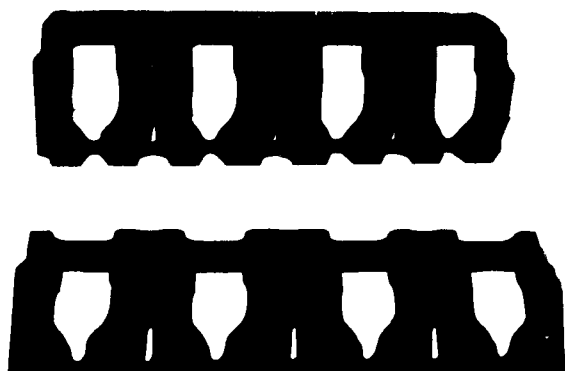
Kolínko ssaci trubky.



Jádro levého diferenciálu.



základové jádro pro hlavu válců.



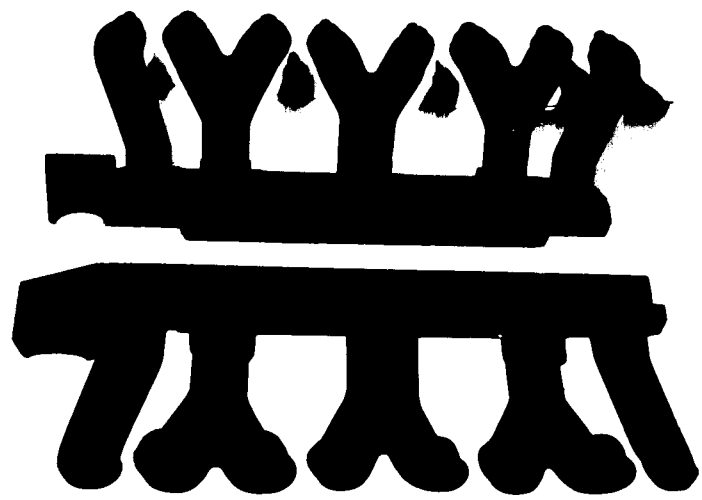
Svičkové jádro pro hlavu válců.



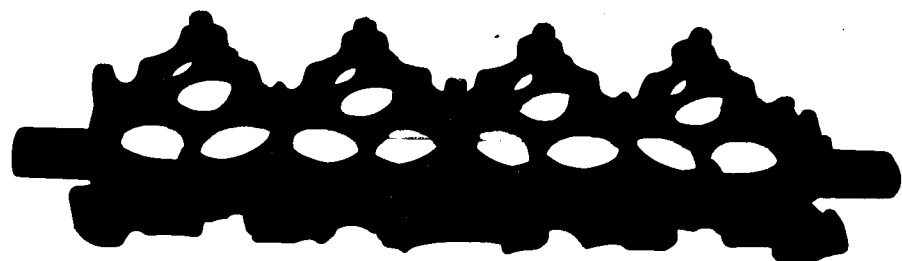
Jádro vložky válců.



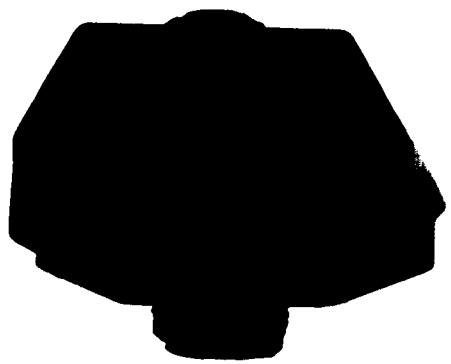
Jádro náboje kola.



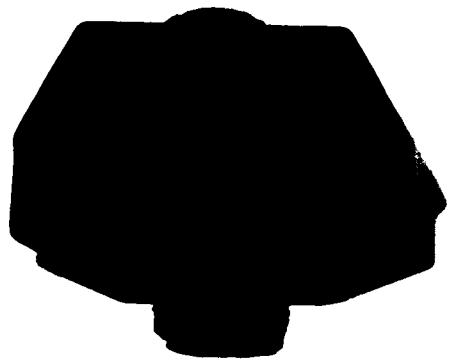
Kolinková jádra pro hlavu válců.



Žebříčkové jádro pro hlavu válců.



Jádro třmenu diskové brzdy.



Jádro třmenu diskové brzdy.



Jádro výfukové trubky.